

## Facies, razvoj in interpretacija sedimetacijskega okolja uranonosnega Brebovniškega člena Grödenske formacije na območju Žirovskega vrha

**Facies, development and interpretation of sedimentary environment of the uranium-bearing Brebovnica Member of the Val Gardena Formation in the Žirovski vrh area, W Slovenia**

Dragomir SKABERNE  
Geološki zavod Slovenije, Dimičeva 14, 1000 Ljubljana, Slovenija

*Kjučne besede:* Grödenska formacija, Brebovniški člen, perm, facies, okolje sedimentacijske, uran, Žirovski vrh, W Slovenija

*Key words:* Val Gardena Formation, Brebovnica Member, Permian, facies, sedimentary environment, uranium, Žirovski vrh, W Slovenia

### Kratka vsebina

Zaradi znatnih koncentracij uranove rude je Brebovniški člen najpomembnejši člen Grödenske formacije. Kamnine smo glede na zrnatost, sedimentne tekture in sestavo ločili v konglomeratne, peščenjakove, muljevčeve in karbonatne faciese ter interpretirali pogoje njihovega nastanka. Iz podrobnih delnih profilov smo sestavili poenostavljeni profil celotnega Brebovniškega člena v skupni debelini skoraj 400 m. V njem smo ločili dva makrocikla. Prvi obsega spodnjo polovico Brebovniškega člena, drugi pa njegovo zgornjo polovico in približno spodnjo polovico Hobovškega člena. Makrocikla sta produkt rečnega sedimentacijskega okolja z vsemi svojimi podokolji in sta alocikličnega značaja. Alocikličnost so najverjetneje kontrolirala tektonika dogajanja v drenažnem zaledju in sedimentacijskem bazenu. Makrocikla predstavljata razvoj rečnega sistema od proksimalnih delov s prevladajočim talnim transportom prepletajočih rečnih korit in aluvialnih vršajev proti distalnejšim delom z mešanim talno-suspenzijskim transportom meandrirajočih rečnih korit.

### Abstract

The Brebovnica Member, bearing considerable grades of uranium ore, is the most important member of the Val Gardena Formation. Rocks were subdivided according to grain size, sedimentary structures and composition to conglomerate, sandstone, mudstone and carbonate facies, and the conditions of their formation were interpreted. From detailed partial profiles that illustrate the successions of facies a generalized profile of lithostratigraphic development of the entire Brebovnica Member of a total thickness of almost 400 m was constructed. Two macrocycles were distinguished in it. The first macrocycle comprises the lower half of the Brebovnica Member, and the second macrocycle its upper half and approximately the lower half of the Hobovbše Member. The macrocycles are a product of fluvial depositional environment with its subenvironments, and they are of allocyclic character. The allocyclicity was most probably controlled by tectonic events in drainage and depositional basin. The macrocycles represent the development of fluvial system from its proximal parts with predominant bed-load braided channels and alluvial fans towards more distal parts with mixed-load meandering channels.

## Uvod

Kamnine Grödenske formacije imajo v Sloveniji največji sklenjen obseg na območju med Cerknim in Smrečjem, kjer se v obliki neenakomerno širokoga pasu raztezajo v smeri NW – SE. K poznavanju geološke zgradbe tega in širšega prostora so med drugimi veliko prispevali Kossmat (1910), Winkler (1923), Rakovec (1956), Ramovš (1958), Berce (1959), Berce s sodelavci (1959, 1960), Mlakar (1969), Grad in Ferjančič (1974, 1976), Placer (1973, 1981, 1983, 1999), Placer in Čar (1998) ter Premru (1976, 1977, 1980).

Na Cerkljanskem in Sovedenjskem so že v 19. stoletju poznali številne pojave bakrove rude, ki so pritegnili pozornost raziskovalcev. Podatke o bakrovem orudenu so podali Lipold (1885, 1857), Götting (1924) in Bibolini (1932), o nastanku rudišča Škopje pa so pisali Grafeneuer (1966), Drovešnik M. (1970) in Drovešnik F. s sodelavci (1972). Z odkritjem radioaktivnih anomalij na območju Žirovskega vrha leta 1960 in kasnejšim odprtjem Rudnika urana Žirovski vrh se je zanimanje za grödenske kamnine zelo povečalo. Območje Žirovskega vrha so obravnavali Marinković (1960, 1961 a, b), Isajlović in Pavlović (1963), Omaljev (1965, 1967 a, b), Grad s sodelavci (1967), Dimkovski s sodelavci (1974, 1976, 1977), Lukacs in Florjančič (1974), Budkovič s sodelavci (1979, 1983), Budkovič (1978, 1980, 1981) in drugi. Nastanek uranovega rudišča Žirovski vrh pa so podrobnejše obdelali Omaljev (1982), Dolenec (1983) in Palinkaš (1986).

V okviru večletnih raziskav *Geološki faktorji Hg, Cu in U mineralizacije* (Mlakar 1978 do 1983) smo dobili novo geološko karto obsežnega ozemlja med Cerknim in Smrečjem (sl. 1), ki upošteva tudi podatke vrtin in jamskih del. V letnih poročilih o raziskavah so med drugim tudi osnovni podatki o vseh litostratigrafskih členih Grödenske formacije. Geološko zgradbo Žirovskega vrha in okolice na kratko podajata Mlakar in Placer (2000). Podrobnejše informacije o sedimentacijskem in postsedimentacijskem razvoju Grödenske formacije na tem območju in nekaterih dilemah litostratigrafskega poimenovanja je podal Skaberne (1995).

## Osnovne geološke značilnosti Žirovskega ozemlja

Med Cerknim, Žirovskim vrhom (sl. 1) in Smrečjem se v smeri NW – SE razteza približno 20 km dolg in do 5 km širok pas kamnin Grödenske formacije. To območje leži na stičišču zunanjih Dinaridov in Južnih Alp, ki jih grade obsežne narinve enote. V širšem smislu pripada območje Žirovskega vrha zunanjim Dinaridom, v ožjem pa idrijsko-žirovskemu ozemlju, ki je del Trnovskega pokrova (Mlakar, 1969; Placer, 1981, 1999; Mlakar in Placer, 2000).

V Trnovskem pokrovu so najstarejše kamnine karbonski skrilavi glinavci, na katerih leže kamnine Grödenske formacije. Ponekod je ta stik neporušena ali le malo tektonizirana kotno-erozijska diskordanca, drugod pa je narinvega značaja.

Kamnine Grödenske formacije so v osrednjem delu Žirovskega vrha nagubane in v spodnjem delu grade tako imenovano dvojno S strukturo (Lukacs in Florjančič, 1974), proti severozahodu in jugovzhodu pa so plikativne deformacije manjše in plasti vpadajo generalno proti jugozahodu in jugu.

Narivno zgradbo sekata več sistemov prelomov, ki potekajo v dinarski (NW – SE), alpski (E – W), prečno dinarski (NE – SW) in prečno alpski (N – S) smeri. Med prelomi je najpomembnejši dinarsko usmerjeni Sovodenjski prelom, ob katerem je jugovzhodno krilo pogreznjeno za 200 do 400 m (Mlakar in Placer, 2000).

V talnini Grödenske formacije so skrilavi glinavci superpozicijske enote Cc. Njena starost paleontološko še ni dokazana zato jo po starih ugotovitvah uvrščamo v zgornji karbon, dopuščamo pa možnost, da pripada tudi spodnjemu permu (Mlakar, 1987; Mlakar et al., 1993; Mlakar in Placer, 2000; Mlakar, 2001). Kontakt med superpozicijsko enoto Cc in Grödensko formacijo je kotno erozijsko-diskordanten. Grödensko formacijo grade pretežno rdeče, podrejeno sive, sivozelene in zelene, prevladujoče srednjezrnate, v manjši meri drobno in debelozrnate klastične kamnine. Glede na litološke značilnosti je Mlakar (1978–1983) razdelil Grödensko formacijo na šest superpozicijskih enot A<sub>1</sub>, A<sub>2</sub>, A<sub>3/1</sub>, A<sub>3/2</sub>, B in C oziroma litostratigrafskih členov in jih poimenoval:

Brebovniški (Br), Hobovški (Ho), Zalški (Za), Koprivniški (Ko), Škofješki (Šk) in Dobračevski člen (Do) (Mlakar in Placer, 2000).

*Brebovniški člen (Br)* grade večinoma sivi in sivozeleni, ponekod rdeči in zeleni, različno zrnati, pretežno glinenčeve krmenovo litični peščenjaki, konglomerati ter v manjši meri muljevci. V zgornji polovici Brebovniškega člena se nahaja na območju Žirovskega vrha uranovo orudenje. Debelina tega člena se spreminja od 0 do 400 m in se proti severozahodu izklinja.

*Hobovški člen (Ho)* sestavlja rdeči muljevec z do nekaj metri debelimi lečami rdečega in sivega drobnozrnatega peščenjaka. V slednjem se ponekod pojavljajo orudjenja z bakrom. Člen je debel 20 do 280 m.

*Zalški člen (Za)* je zastopan z rdečimi, različno zrnatimi peščenjaki in podrejeno tanjšimi plastmi rdečega muljevca. Njegova debelina se giblje od 180 do 380 m.

*Koprivniški člen (Ko)* predstavljajo rdeči konglomerati in različno zrnati peščenjaki ter manjša količina muljevcov. Na širšem območju Žirovskega vrha doseže člen debelino 550 m. Severozahodno od Sovodnja pa se Zalški in Koprivniški člen tanjšata in izklinjata. Na jugovzhodnem delu obravnavanega ozemlja (Lavrovec) so kamnine, ki jih lahko vzporejamo z Zalškim in Koprivniškim členom, drugače razvite.

*Škofješki člen (Šk)* je na območju Škofja in Sovodenj razvit kot siv litični krmenov peščenjak, v katerem se ponekod (Škofje, Sovodenj) pojavlja bakrovo orudenje. Na območju Javorjevega dola nastopajo v istem litostратigrafskem nivoju leče svetlo sivega in sivo rjavkastega ponekod rožnatega konglomerata, ki postajajo proti jugovzhodu sklenjene in debelejše ter dosežejo debelino 100 m. Na Lavrovcu pa sta bili izdvojeni dve progradirajoči zaporedji s povečevanjem zrnatosti navzgor, ki ju sestavljajo sivi do sivo rumenikasti peščenjaki in konglomerati; slednji so ponekod tudi rdeči. Zaporedji dosežeta debelino do 740 m in predstavljata ekvivalent Zalškemu in Koprivniškemu členu.

*Dobračevski člen (Do)* je na območju Sovodenj prevladujoče razvit kot rdeč drobnozrnat peščenjak in doseže debelino 120 m. Proti jugovzhodu prehaja v rdeč muljevec, ki se tanjša in na Lavrovcu izklini.

Debelina celotne Grödenske formacije se spreminja od 200 m na območju Škofja do

1750 na območju Žirovskega vrha, kjer doseže največjo debelino v Sloveniji.

Spodnji del kamnin Grödenske formacije na Žirovskem vrhu naj bi bil starejši od 255 milj. let, kar bi ustrezalo kazanju, spodnji polovici zgornjega perma v dvodelni razdelitvi (Odin & Odin, 1990) ali srednjemu permu po tridelni razčlenitvi perma. To potrujejo tudi edini določljivi fosilni ostanki (pelod) najdeni v podkopu P-10 in vrtini B-63 (Jelen et al., 1981).

Grödensko terigeno formacijo transgrezivno prekrivajo karbonatne kamnine in sicer siv do temno siv ploščast dolomikritni dolomit z nekaj centimetrov debelimi plastmi muljevca, ki prehaja v dolomitno-apnenčev razvoj. Te grade Zažarsko formacijo, ki je ekvivalent Belerofonski formaciji v Karrijskih Alpah.

V nadaljevanju se bomo omejili le na Brebovniški člen Grödenske formacije, ki je zaradi znatne koncentracije uranove rude tudi ekonomsko najzanimivejši. Osnovna razčlenitev tega člena se je izoblikovala v zvezi z raziskavami uranove rude (Omaljev, 1967 a, b; Budkovič, 1980). Zato bomo podali nekatere značilnosti kamen oziroma litofaciesov in bolj genetsko razčlenitev ter interpretacijo sedimentacijskega okolja nastanka kamnin Brebovniškega člena.

## Metodologija dela in interpretacije

Na območju Rudnika urana Žirovski vrh (sl. 1) smo posneli deset podrobnih profilov, ki se deloma prekrivajo in zajemajo celotno in največjo ohranjeno debelino Brebovniškega člena na vsem območju med Cerknim in Smrečjem.

Posneti profili predstavljajo enodimenzijsko, vertikalno zaporedje faciesov. Izraz facies ali natančneje sedimentni facies uporabljamo kot opisni izraz za bolj ali manj homogeno telo kamnin, ki ga lahko določimo in ločimo od ostalih kaminskih teles po fizikalnih, kemičnih in bioloških značilnostih. Te se odražajo v geometriji, sestavi, strukturi, sedimentnih teksturah, smereh paleotokov in združbah fosilov (Selley, 1970). Tako naj bi bil posamezni facies produkt bolj ali manj konstantnih fizikalnih, fizikalno-kemičnih in bioloških pogojev v določenem delu sedimentacijskega prostora.



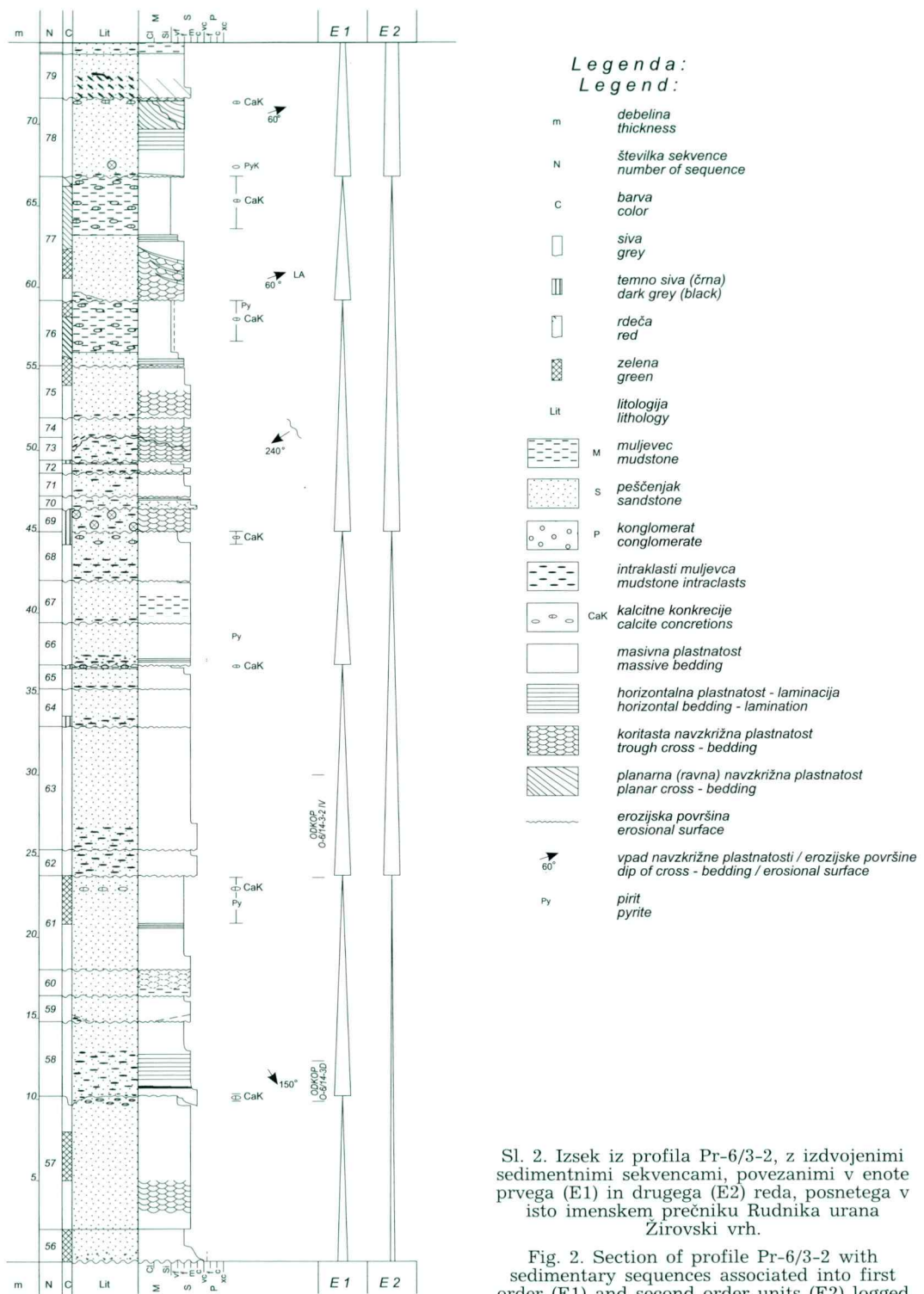
Sl. 1. Situacijska karta širšega raziskovalnega območja, ki ga je podrobno geološko kartiral Mlakar (1979 – 1982) in položajem Rudnika urana Žirovski vrh.

Fig. 1. Sketch map of studied territory mapped in detail by Mlakar (1979–1982) with position of Žirovski vrh uranium mine.

Grödensko formacijo sestavljajo pretežno klastične kamnine. Ker predstavlja struktura, predvsem velikost zrn, eno od osnovnih in pri klastičnih kamninah eno najpomembnejših lastnosti, smo jo uporabili za osnovno razdelitev faciesov. Ločili smo tri osnovne granulometrične skupine in sicer konglomeratne, peščenjakove in muljevčeve faciese, ki smo jih z dodatnimi opredeljujočimi kriteriji, kot so sedimentne tekture in sestava, podrobneje razdelili. Pri tem je potrebno omeniti, da so sedimentne tekture redke ali slabo vidne. Ker so sedimentne tekture nastale v času sedimentacije in odražajo vzajemnem vpliv vodnega toka, podlage in prenašanega materiala, lahko na njihovi osnovni sklepamo na nekatere značilnosti toka, ki jih opredelimo kot značaj *tokovnega režima*. Tokovni režim določa pogoje nastanka dolochenje plastne oblike in njene konfiguracije, sinsedimentne tekture oziroma faciesa. Zastopanost izdvojenih facies tako kaže na pogostnost določenega tokovnega režima, njihovo zaporedje pa razkriva način spremenjanja njegovih lastnosti. Omenjene spremembe so lahko značilne za določeno sedimentacijsko okolje. Tako vertikalno zaporedje sedimentnih tekstur, oziroma faciesov omogoča rekonstrukcijo le-teh.

Vertikalna zaporedja faciesov smo združevali v sedimentne sekvence, ki so omejene večinoma s ploskvami plastnatosti tretjega ali višjih redov (Miall, 1988). Idealna sekvenca najbolj znanega meandrirajočega modela rečnega toka sestoji iz debelozrnatega dela, sedimentov meanderskih sipin in drobnozrnatega dela, sedimentov obrežnih ravnin. Spodnji, debelozrnati del grade različno teksturirani konglomeratni in peščenjakovi faciesi, medtem ko drobnozrnati del predstavljajo večinoma muljevci. Za lažjo predstavo podajamo na sliki 2 izsek profila Pr 6/3-2 z izdvojenimi sedimentacijskimi sekvencami, v katerih so zastopani različni faciesi.

Zaradi zelo omejene možnosti lateralnega sledenja faciesov in njihovega sosedja nismo mogli neposredno uporabiti metode arhitekturnih elementov (Miall, 1985), ampak smo sedimentne sekvence povezovali v različne enote višjih redov (prvega E1 in drugega E2 reda; sl. 2). Enote so interpretativnega značaja in naj bi predstavljale enotne sipine, koritne oblike in prepletajoče sipinske ter obrežne ravninske komplekse rek ali vršajev. Posamezne enote smo opredelili na podlagi grafičnih prikazov profilov in diagramov debelin sekvenc. Celotni prikazi profilov, iz-



Sl. 2. Izsek iz profila Pr-6/3-2, z izdvojenimi sedimentnimi sekvencami, povezanimi v enote prvega (E1) in drugega (E2) reda, posnetega v isto imenskem prečniku Rudnika urana Žirovski vrh.

Fig. 2. Section of profile Pr-6/3-2 with sedimentary sequences associated into first order (E1) and second order units (E2) logged in crosscut of same name in Žirovski vrh mine.

dvojenih enot, njihova kvantitativna opredelitev z relativno zastopanostjo posameznih faciesov ter podrobnejša interpretacija je podana v delu Skaberneta (1995).

Vse v nadaljevanju navedene relativne zastopanosti posameznih faciesov so podane glede na obseg njihovih debelin v upoštevanih odsekih podrobno posnetih profilov P-10, Pr-6/2-3 in Pr-6/0-4 v centralnem delu Rudnika urana Žirovski vrh.

### **Opis faciesov in njihova interpretacija**

V Brebovniškem členu so najbolj zastopani peščenjakovi in konglomeratni faciesi, medtem ko so muljevčevi in karbonatni faciesi manj razviti.

#### **Konglomeratni faciesi**

H konglomeratnim faciesom, ki sestavljajo 18.6 % Brebovniškega člena, uvrščamo konglomerate, peščene konglomerate in prodnate peščenjake, med katerimi prevladuje slednja dva. So različnih sivih, zelenih in podrejeno rdečih barvnih odtenkov. Nastopajo v neenakomerno debelih plasteh in lečah, debelih od 5 cm do 9 m. V njihovi talnini so peščenjaki ali muljevci. Spodnji kontakt med njimi je običajno oster ali erozijski, zgornji med konglomeratom in peščenjakom pa je navadno postopen, ponekod tudi oster.

Struktura konglomeratnih faciesov je precej različna in odvisna predvsem od razmerja med prodnato in peščeno frakcijo. Porazdelitev velikosti zrn je v večini primerov izrazito bimodalna. Velikost prodnikov je zelo spremenljiva in doseže do 20 cm. Poleg ekstrabazenskih prodnikov nastopajo v konglomeratih tudi intraklasti muljevca (erodirani klasti podlage), ki dosežejo velikost blokov do 2 m. Peščeni konglomerati in prodnati peščenjaki so običajno slabo sortirani. Sama prodnata frakcija je v nekaterih primerih, predvsem v frakciji 4 do 10 mm, dobro sortirana. Peščeno vezivo pripada granulometrično zelo debelo, debelo, srednje in drobnozrnatemu peščenjaku. Slučajni preseki prodnikov so od podolgovatih do izometričnih oblik, prevladujejo pa vmesne oblike. Njihova stopnja zaobljenosti je precej spremenljiva in se giblje od pologlatih do zaobljenih.

V nekaterih konglomeratnih različkih lahko opazujemo primarno orientacijo prodnikov. Večinoma so orientirani z dolgimi osmi presekov vzporedno s klivažnimi domenami. Te in z njimi vzporedne dolge osi presekov prodnikov so lahko vzporedne s plastnatostjo, oklepajo z njo določen, bolj ali manj oster kot ali potekajo celo pravokotno na plasti.

Konglomerate sestavljajo prodniki in pesčena zrna. Vežejo jih kremenova illit-sericitna epiosnova in različne vrste cementov.

V konglomeratih makroskopsko ločilmo naslednje skupine prodnikov: sivi-beli in rožnati kremen, sive, zelene in rožnate predornine, redke zrnate granitoidne kamnine, rožence – ludit in jaspis, apnence, peščenjake, tufe, sericitne skrilavce, filite, kvarcite ter intraklaste muljevcev in karbonatnih konkrecij.

V Brebovniškem členu smo v konglomeratih zasledili spremembe v barvi in sestavi prodnikov ter na njihovi osnovi ločili dva glavna konglomeratna faciesa.

*Sivi polimiktni konglomerat* je različnih sivih in podrejeno zelenkastih odtenkov. V njem so prisotni predvsem prodniki sivega-belega kremena, sivih in zelenih predornin, podrejeno pa lidita, tufov ter intraklasti (tab. 1, sl. 1). Običajno tvori bolj ali manj kontinuirane plasti in leče, ki so v sekvenkah debele od 10 cm do 4.5 m. Sivi polimiktni konglomerat pripada strukturno peščenemu konglomeratu in prodnatemu peščenjaku, s povprečno velikostjo prodnikov od 0.5 do 3 cm, medtem ko dosežejo največji tudi 15 cm.

V Brebovniškem členu je sivi polimiktni konglomerat zastopan z 8.5 %. Vanj se ponekod vključujejo sedimentacijska telesa pisanega polimiktnega konglomerata.

*Pisani polimiktni konglomerat* ima zelo pestro sestavo prodnikov, ki se deloma odraža v pisani barvi, po kateri je dobil tudi ime. Sestavlja ga predvsem prodniki sivega-belega in rožnatega kremena, manj pa je sivih, zelenih in rožnatih predornin, lidita, jaspisa, tufov in intraklastov (tab. 1, sl. 2). Poleg navedenih prodnikov nastopajo ponekod tudi prodniki apnencev. Zasledili smo jih v dveh horizontih, nekoliko številčnejši pa so le v enim. Pisani polimiktni konglomerat je pretežno zelenkast, redko rdečkast in še redkeje siv ter nastopa v bolj ali manj kontinuiranih plasteh ali lečah, ki so v sekvenkah debele od 10 cm do 8.1 m. Strukturno pripada pisani polimiktni konglomerat vsem

strukturnim skupinam: konglomeratu, peščenemu konglomeratu in prodnatemu peščenjaku. Prodniki so nekoliko večji kot v sivem polimiktnem konglomeratu. Njihova povprečna velikost je 1 do 4 cm, medtem ko doseže maksimalna velikost do 20 cm.

Pisani polimiktni konglomerat je na območju Žirovskega vrha neenakomerno razvrščen. V največji debelini se pojavlja v osrednjem delu, kjer predstavlja 10.1 % debeline Brebovniškega člena, medtem ko se proti NW in SE tanjša. Nastopa v več horizontih, ki se lahko lateralno v smeri SW hitro izklinjajo. Med posameznimi horizonti je sivi polimiktni konglomerat, v katerega lahko pisani polimiktni konglomerat tudi lateralno prehaja.

Za podrobnejšo opredelitev faciesov smo uporabili predsedimentacijske in sinsedimentacijske tekture.

Med predsedimentacijskimi teksturami so pomembne erozijske površine – *Se*. Večinoma jih zasledimo v spodnjem delu debelozrnatega člena sekvinc in predstavljajo spodnji, ponekod tudi bočni kontakt z obdajajočimi faciesi. V prečnem preseku so vijugave in običajno konkavne ploskeve (tab. 1, sl. 1, 2), ki so zarezane od nekaj centimetrov do več kot štiri metre globoko v podlago. Nad erozijskimi površinami zasledimo v spodnjem delu sekvence intraklaste erodiranega muljevca in/ali karbonatnih konkrecij. Njihova velikost in količina se običajno z oddaljenostjo od erozijske površine zmanjšuje. Opisane erozijske površine uvrščamo v ploskve tretjega ali višjega reda (Miall, 1988, 1990). Vzporejamo jih s faciesom *Se* (erosional scours with intraclasts; Rust, 1978; Miall, 1978) oziroma s faciesom *SS* (Cant & Walker, 1978).

V konglomeratnih faciesih nastopajoče sinsedimentacijske tekture določajo značaj plastnatosti in podrobnejše opredeljujejo facies. Zasledili smo masivno, horizontalno, ravno in koritasto navzkrižno plastnatost.

*Masivni konglomerat – Gm* (massive gravel) je najbolj zastopan in predstavlja 17.0 % debeline Brebovniškega člena. Nastopa v lečah in plasteh, debelih od 10 cm do 9 m. Navzgor prehajajo v konglomerate s horizontalno in koritasto navzkrižno plastnatostjo ali v druge peščenjakove faciese. Prehodi so večinoma jasni in ostri, le v masivni peščeni facies prevladujejo postopni prehodi.

*Horizontalno plastnati konglomerat – Gh* (horizontally bedded gravel) je bolj ali manj izrazit. Horizontalna plastnatost je večinoma posledica spremembe sestave oziroma barve in porazdelitve velikosti zrn (tab. 2, sl. 1). Pogosto jo komaj opazimo in prehaja v masivno plastnatost. Intervalli s horizontalno plastnatostjo so debeli od 10 cm do 3.1 m, plasti v njih pa od 1 do 10 cm. Meje med plastmi so postopne do jasne. Miall (1977, 1978) je konglomerate z masivno in horizontalno plastnatostjo združil v litofacies *Gm* (massive and crudely bedded gravel). Faciesa *Gm* in *Gh* bi lahko predstavlja longitudinalne sipine, zaostale debelozrnate sedimente (lag deposits) ali aluvialno vršajne “presejne” sedimente (sieve deposits).

*Koritasto navzkrižno plastnati konglomerat – Gt* (trough cross-bedded gravel; Miall, 1977, 1978) je bolj ali manj jasno izražen in je zastopan le z 0.4 %. Sestavlajo ga erozijske kotanje, zapolnjene s simetrično ali asimetrično upognjenimi plastmi, ki se med seboj razlikujejo predvsem po zrnatosti, količini prodnikov in deloma barvi. Prevladujejo 10 do 50 cm globoka korita, medtem ko znaša njihova širina 50 cm do 1.5 m. Pri večjih koritih smo širino ocenili do 3 m. V večini primerov dolžine posameznih korit nismo mogli določiti, ker smo lahko opazovali le nakaj vzdolžnih presekov. Koseti koritaste navzkrižne plastnatosti so v konglomeratnih različnih debeli od 10 cm do 2.6 m. Koritasto navzkrižno plastnati konglomerat interpretiramo kot zapolnitve kanalov.

### Peščenjakovi faciesi

Peščenjakovi faciesi so najbolj zastopani in sestavljajo 70.0 % debeline Brebovniškega člena. Glede na zrnatost smo jih podrobnejše ločili v tri skupine: debelo (10.6 %), srednje (38.0 %) in drobnozrnat (21.4 %) peščenjak. So sivih, rdečih in podrejeno zelenih odtenkov ter nastopajo v bolj ali manj enakomerno debelih plasteh ter lečah. Njihova debelina v izdvojenih sekvenkah se giblje od 5 cm do 18.2 m.

V talnini peščenjakovih faciesov so konglomerati ali muljevci. V primerih, ko ležijo v talnini muljevci, je spodnji kontakt z njimi oster ali erozijski (tab. 2, sl. 3), medtem ko je spodnji kontakt s konglomerati jasen ali postopen in redkeje oster. Bočni kontakti s

konglomerati so navadno postopni. Ostri lateralni kontakti z muljevci ali konglomerati so običajno erozijski. Peščenjaki prehajojo navzgor v muljevce. Prehod je pretežno jasen ali oster (tab. 2, sl. 3), le ponekod postopen. V peščenih faciesih različnih zrnatosti so prehodi postopni, jasni, ostri ali erozijski.

Podrobnejše strukture peščenjakovih faciesov ne bomo obravnavali. Podatke o porazdelitvah velikosti zrn peščenjakov Grödenske formacije in interpretaciji sedimentacijskega okolja na njihovi osnovi, ki smo ga opredelili kot fluvialnega (rečnega) podaja Skaberne (1995, 1997).

Peščenjake sestavljajo terigena zrna kremera, glinencev, litičnih zrn, filosilikatov in akcesornih težkih mineralov. Kremenova zrna so poli in monokristalna. Med glinenci prevladujejo dvojčični in nedvojčični plagioklazi, podrejena so zrna mikropertita in redka zrna mikroklinja. Litična zrna pripadajo kislim in bazičnim predorninam, granitoidnim kamninam, karbonatnim in klastičnim sedimentnim kamninam, rožencem, tufom, sericitnim in kloritno-sericitnim skrilavcem, kvarcitom, blestnikom, gnajsom in nedoločljivim litičnim zrnom. Med filosilikati so prisotni muskovit, klorit in v sledovih biotit. Klorit ima sestavo ripidolita in thuringita. Akcesorne težke minerale sestavljajo večidel neprozorni minerali: ilmenit, magne-

tit, levkoksen, hematit in hematitizirani drobci. Podrejeno so zastopani prozorni težki minerali: cirkon, rutil, turmalin, granični, amfiboli, apatit, zoisit (klinozoisit), epidot, pirokseni, titanit, stavrolit, disten in andaluzit.

Organska snov je deloma koloidna, deloma pa jo predstavljajo rastlinski ostanki, ki so lahko mineralizirani ali karbonizirani. Slednji pripadajo metaantracitu.

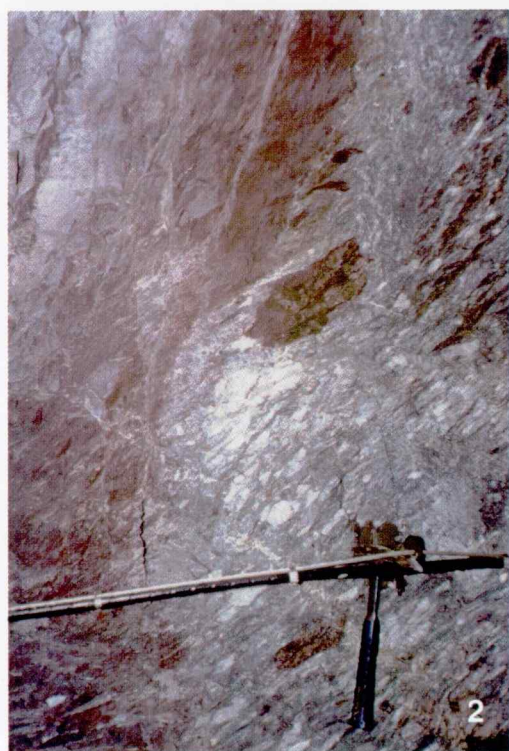
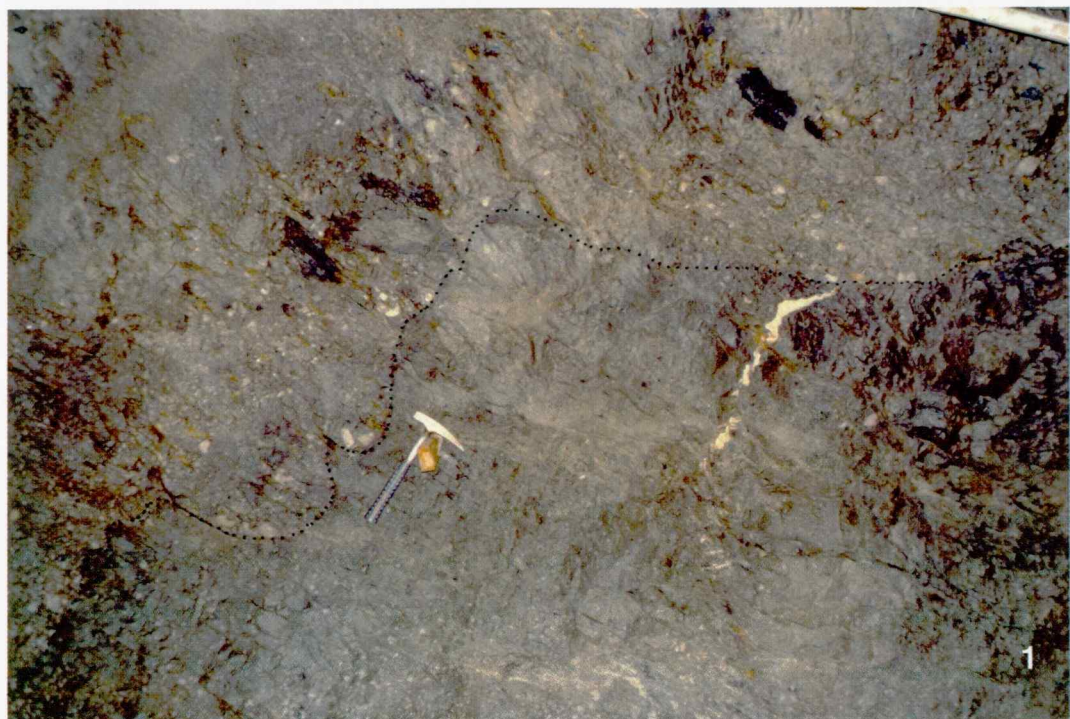
Terigena zrna vežeta cement in osnova. Cement predstavljajo kremen, glinenci-albit, kalcit, dolomit, illit-sericit, klorit, barit, pirit in hematit. V orudenih peščenjakih so prisotni še neprozorni kovinski uranovi, bakrovni, cinkovi in svinčevi minerali. Našteti minerali tvorijo različne oblike in se pojavljajo v več generacijah. Večina osnove pripada genetsko epiosnovi, ki jo gradita pretežno kremen in illit-sericit, v manjši meri pa sta prisotna klorit in albit. V frakciji glin, ki naj bi predstavljal komponento osnove, sta prisotna illit in klorit.

Glede na prisotnost oziroma odsotnot predsedimentacijskih in predvsem sinsedimentacijskih tekstur smo v posameznih granulometričnih skupinah peščenjakov ločili več podrobnejše opredeljenih faciesov.

Predsedimentacijske, erozijske tekture so razvite v spodnjem in deloma v zgornjem delu debelozrnatega, peščenega člena sekvenc.

#### Tabla 1 – Plate 1

- Sl. 1* Sivi polimiktni konglomerat zapolnjuje 4 m globok erozijski kanal. Vidna je erozijska površina in del boka erozijskega kanala. Rudnik urana Žirovski vrh, Pr 6/3-2, 27 m.
- Fig. 1* Grey polymictic conglomerate filling a 4 m deep erosion channel. Erosion surface and part of erosion channel flank is visible. Žirovski vrh uranium mine, Pr-6/3-2, 27 m.
- Sl. 2* Erozijska površina med rdečim muljevcem v talnini in pisanim polimiktnim konglomeratom v krovini (plasti so rahlo inverzne). Med prodniki sivega in rožnatega kremena, apnencev ter predornin so iz talinskega rdečega muljevca erodirani intraklasti. Prodnniki so orientirani vzporedno s klivažnimi razpokami, domenami. Rudnik urana Žirovski vrh, P-10, 1030 m.
- Fig. 2* Erosion surface between red shale in footwall and variegated polymictic conglomerate in hanging wall (beds slightly inverse). Among pebbles of grey and rose quartz, limestones and volcanic rocks occur intraclasts eroded from red shale in footwall. Pebbles are oriented parallel to cleavage fissures and domains. Žirovski vrh uranium mine, P-10, 1030 m.
- Sl. 3* Planarno (ravno) navzkrižno plastnat peščenjak nad zelenim, razbarvanim rdečim muljevcem s kalcitnimi konkrecijami. Zgoraj horizontalno plastnat peščenjak. Rudnik urana Žirovski vrh, Pr-6/3-2, 249 m.
- Fig. 3* Planar cross-bedded sandstone overlying green shale with calcite concretions. Above is horizontally bedded sandstone. Žirovski vrh uranium mine, Pr-6/3-2, 249 m.



*Erozijske površine – Se* spodnjih delov sekvenč smo že obravnavali pri konglomeratnih faciesih. Nad njimi leže peščenjaki z intraklastični muljevca in/ali karbonatnih konkrecij in so običajno plitve zarezane v podlago (tab. 2, sl. 3). Erozijske površine vzporojamo s faciesom Se (Rust, 1978; Miall, 1978) oziroma s faciesom SS (Cant & Walker, 1978).

V zgornjem delu peščenjakovega člena nekaterih sekvenč smo zasledili *zapolnitve erozijskih kotanj oziroma manjših korit* – Ss (scour-fill sand) in deloma St (solitary trough cross-bedded sand; Miall, 1977). Običajno smo opazovali le manjši del zapolnitev (sl. 3). Globina kotanj in korit dosega 50 cm. Ostale dimenzije lahko le ocenimo. Njihova širina naj bi znašala do 3 m, dolžina pa do 10 m in več. Kotanje in korita zapoljuje drobno do debelozrnati peščenjak, ki je ponekod laminiran in lahko vsebuje posamezne prodnike.

Sinsedimentacijske tekture podrobnejše določajo naslednje peščenjakove faciese.

*Masivni peščenjak – Sm* (massive sand) je med vsemi peščenjakovimi faciesi najbolj razširjen in predstavlja 47.8 % debeline Brebovniškega člena. V njem nismo zasledili notranje organizacije. V nekaterih plasteh je izražena normalna in redko inverzna gradacija. Glede na pozname literaturne podatke je delež masivnega facesa v obravnavanih profilih presenetljivo visok. Po našem mnenju je glavni vzrok temu močna tektonska prizadetost kamnin, predvsem klivaž, ki je povzročil spremembo strukture prvočne kamnine. Med najpogostejšimi spremembami je izrazita preorientacija sedimentnih zrn. Sedimentne tekture so vidne predvsem v primerih, ko je prišlo do delne spremembe velikosti zrn ali sestave ter z njo povezane barvne spremembe.

*Horizontalno laminirani in plastnati peščenjak – Sh* (horizontally-bedded sand;



Sl. 3. Prečni presek zapolnitve erozijske kotanje z upognjeno laminiranim in plastnatim srednjezernatim peščenjakom. Rudnik urana Žirovski vrh, H-54, 58 m.

Fig. 3. Cross-section of erosion scour filled by curved laminated and bedded medium grained sandstone. Žirovski vrh uranium mine, H-54, 58m.



Sl. 4. Horizontalno plastnati peščenjak nad njim pa koritasto navzkrižno plastnati peščenjak.  
Rudnik urana Žirovski vrh, Pr-6/3-2, 30 m.

Fig. 4. Horizontal bedded sandstone and trough cross-bedded sandstone above it.  
Žirovski vrh uranium mine, Pr-6/3-2, 30 m.

Miall, 1977) sestavljajo seti vzporednih ali skoraj vzporednih lamin (sl. 4, tab. 2, sl. 2) in/ali plasti peščenjaka ter je v Brebovniškem členu zastopan z 9.1 %. Lamine in plasti so debele 0.5 do 20 mm, njihovi seti pa od 5 cm do 3 m. Vzdolž nekaterih horizontalnih lamin so večje koncentracije intraklastov muljevca. Veliki so do 30 cm in pogosto orientirani vzporedno z laminacijo. Horizontalno laminirani in plastnati peščenjak je produkt ravne plasti, nastale večinoma v pogojih zgornjega tokovnega režima.

*Položno planarno (ravno) navzkrižno laminirani in plastnati peščenjak – Sl* (low angle stratified sand; Rust, 1978), bežno omenja tudi Miall (1977) in ga vzporejamo s faciesom G (Cant & Walker, 1978). Grade ga lamine in plasti, debele 2 do 20 mm, ki vpadajo glede na glavno ploskev plastnatosti pod položnim ( $<10^\circ$ ) kotom (tab. 2, sl. 2). Posamezni seti položne planarne navzkrižne laminacije in plastnatosti so de-

beli 10 cm do 3 m. Vzdolž lamin se ponekod pojavljajo intraklasti muljevca. Položna planarna navzkrižna laminacija in plastnatost pogosto lateralno prehaja v horizontalno. Opisani facies je v obravnavanih profilih redki, zastopan le z 1.1 % in označuje zgornji tokovni režim ter se običajno odлага na nekoliko nagnjeni podlagi ali zapolnjuje plitve erozijske kotanje.

*Planarno (ravno) navzkrižno plastnati peščenjak – Sp* (planar cross-bedded sand; Miall, 1977) gradi 1.6 % debeline Brebovniškega člena. Sestavlja ga nagnjene ravne ali rahlo ukrivljene (tab. 1, sl. 3), vzporedne ali delno vzporedne lamine in plasti peščenjaka, debele 1 do 20 mm. Nalegajo poševno, tangencialno ali asimptotično na ponekod nekoliko nagnjene ali rahlo ukrivljene, večinoma neerozijske ali le delome erozijske ploskve. Naklon lamin in plasti lahko doseže kot  $30^\circ$  glede na glavno ploskev plastnatosti. V posameznih setih planarne navzkrižne

plastnatosti so vzdolž nekaterih lamin ali plasti orientirani podolgovati intraklasti muljevca, redko seti navzkrižne laminacije ali celo tanke plasti muljevca. Planarno navzkrižno plastnati peščenjak je debel 20 cm do 1.6 m. Smeri vpada planarne navzkrižne plastnatosti imajo trimodalno porazdelitev. Na območju Žirovskega vrha je prva moda v smeri približno 60°, druga v smeri 240° in tretja, najmanj zastopana, v smeri 150°. Planarno navzkrižno plastnati peščenjak je nastal z migracijo dvodimenzionalnih sipin (prečnih in jezičastih) in karakterizira spodnji tokovni režim.

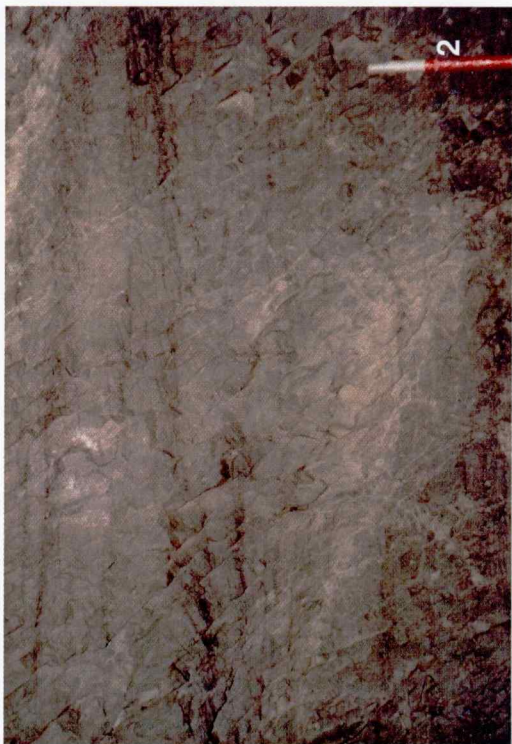
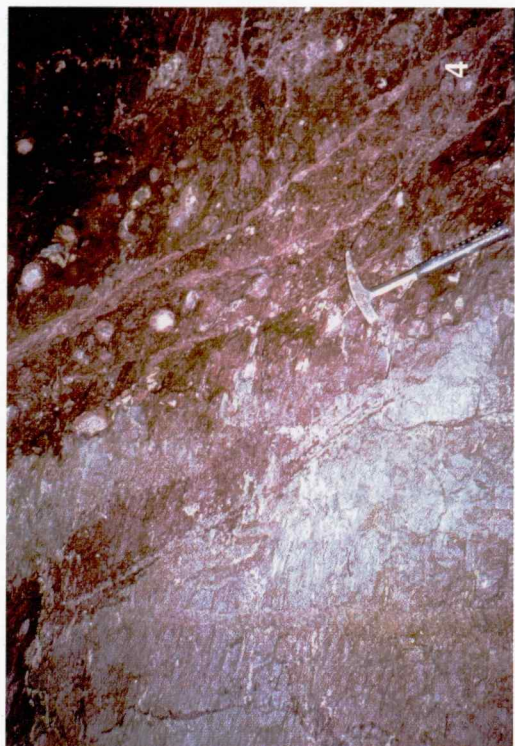
*Koritasto navzkrižno plastnati peščenjak – St* (trough cross-bedded sand; Miall, 1977) je zastopan s 9.0 %. Predstavlja vrsto zapolnitve podolgovatih erozijskih kotanj s simetrično ali asimetrično upognjeno laminiranim materialom (sl. 4). Velikost posameznih erozijskih korit je precej različna. Večina korit je globokih 10 do 30 cm in širokih 50 cm do 1 m. Dolžine v glavnem nismo mogli določiti, ker je bilo v rudniku zelo malo vid-

nih vzdolžnih presekov. Erozijske kotanje so najpogosteje zapolnjene s peščenim, redkeje prodnato peščenim materialom, v katerem so vidne ukrivljene lamine in plasti, debele 2 do 30 mm z žličasto obliko. Značilno je, da so lamine deloma odrezane s sosednjimi ali zgoraj ležečimi erozijskimi kotnjami. Vzdolž nekaterih lamin zasledimo tudi intraklaste muljevca. V profilih je korito navzkrižno plastnatosti peščenjak debel 10 cm do 2.8 m. Opisani facies predstavlja zapolnitve kanalov in je produkt migracije tridimenzionalnih sipin ter označuje spodnji tokovni režim.

*Navzkrižno laminirani peščenjak – Sr* (tab. 2, sl. 2) (ripple cross-laminated sand; Miall, 1978; Rust, 1978) zavzema 1.3 % debeline Brebovniškega člena. Po svojih oblikah in notranji zgradbi je zelo podoben različnim tipom navzkrižne plastnatosti, le da so dimenziije manjše. V večini presekov smo opazovali koritasto navzkrižno laminacijo. Seti navzkrižne laminacije so debeli 1 do 5 cm, medtem ko so koseti z navzkrižno

Tabla 2 – Plate 2

- Sl. 1 Horizontalno plastnati konglomerat. Horizontalno plastnatost v prodnatem peščenjaku nakujujejo temno sive lamine, desno v peščenem konglomeratu pa večja koncentracija prodnikov. Rudnik urana Žirovski vrh, P-10, 1131 m.
- Fig. 1 Horizontally bedded conglomerate. Horizontal bedding in gravelly sandstone is marked by dark grey laminas, and right in sandy conglomerate by higher pebble concentration. Žirovski vrh uranium mine, P-10, 1131 m.
- Sl. 2 V peščenjaku so na nekaterih ploskvah položne planarne navzkrižne plastnatosti koseti navzkrižne laminacije. Spodaj set horizontalne plastnatosti. Rudnik urana Žirovski vrh, Pr-6/3-2, 252 m.
- Fig. 2 On certain surfaces of low angle planar cross-bedded sandstone occur cosets of cross lamination. Below a set of horizontal bedding. Žirovski vrh uranium mine, Pr-6/3-2, 252 m.
- Sl. 3 Horizontalno laminirani muljevc s posameznimi rožnatimi kalcitnimi konkrecijami, v katerega je zarezana do 30 cm globoko erozijska ploskev. Ob spodnjem in zgornjem kontaktu s peščenim faciesom je muljevec deloma razbarvan in je zelene barve. Nad erozijsko površino opazimo zelenkaste intraklaste muljevca. Rudnik urana Žirovski vrh, PP-450, 22 m.
- Fig. 3 Horizontally laminated shale with individual rose calcite concretions in which to 30 cm deep erosion surface is cut in. Along the lower and upper contacts with sandstone the shale is partly green colored. Above the erosion surface greenish shale intraclasts are seen. Žirovski vrh uranium mine, Pr-10, 1068 m.
- Sl. 4 V zelenem in rdečem muljevcu so številne rožnate kalcitne septarijske konkrecije, katerih količina navzdol (proti desni) pada. Rudnik urana Žirovski vrh, P-10, 1068 m.
- Fig. 4 In green and red shale occur numeours calcite septarian concretions, abundance of which diminishes downward (toward right). Žirovski vrh uranium mine, P-10, 1068 m.



laminacijo debeli od 5 cm do 1 m. Navzkrižno laminirani peščenjak je nastal z migracijo dvo in tridimenzionalnih sipinic v območju spodnjega tokovnega režima.

### Muljevčevi facies

Muljevčevi faciesi litološko obsegajo muljeve in meljaste glinavce, različnih rdečih, vijoličastih, sivih do temno sivih, skoraj črnih in zelenkastih barv. V Brebovniškem členu so zastopani z 11.4 %. Nastopajo v različno, a relativno enakomerno debelih plasteh in deloma v lečah. V talnini in krovini muljevcov so peščenjaki in konglomerati. Njihovi spodnji kontakti so običajno jasni ali ostri. V primerih, ko predstavlja talnino zelo drobnozrnat peščenjak, je kontakt tudi postopen. Zgornji kontakti med muljevci in krovino so erozijski (tab. 2, sl. 3) ali ostri.

Muljaste kamnine imajo heterogeno strukturo. Strukturno heterogenost povzroča menjavanje debeleje in drobnejše zrnatih lamin, bioturbacija, konkrecije in klivažne domene. Večina terigenih zrn v muljevcih je manjših od 0.03 mm in tvorijo osnovo, v kateri lebde peščena zrna, ki so slabo sortirana. Količina peščenih zrn je zelo spremenljiva in običajno ne presega 20 %.

Sestava muljevcov je enostavna. Grade jih kremen, glinenci – albit in redko mikroklin, muskovit, klorit, ponekod pa še kalcit, dolomit, pirit in hematit.

Teksturno smo ločili skrilavi in laminirani muljeveci.

*Skrilavi muljevec – Fs* je najbolj razširjen. Pojavlja se v debelini od 5 cm do 5.5 m. Domnevamo, da je imela večina sedaj skrilavih muljevcov izraženo drobno horizontalno laminacijo. Sedaj je, verjetno zaradi post-sedimentacijskih sprememb, nastalih predvsem pod vplivom tektonikih napetosti (klivaž) in v manjši meri pod drugimi fizikalnimi, kemičnimi in biološkimi vplivi, zbrisana.

*Laminirani muljevec – Fl* (tab. 2, sl. 3) (laminated, sand, silt and mud; Miall, 1977) in *heterolitični muljasto peščenjakovi faciesi* s horizontalno in navzkrižno laminacijo ter krpasto in lečasto plastnatostjo so v Brebovniškem členu podrejeni.

Muljevčevi faciesi predstavljajo material odložen iz suspenzije ali šibkega vlečnega tokova na obrežni ravnini ali v opuščenih kanalih.

### Karbonatni faciesi

Med *karbonatne faciese* uvrščamo kalcitne in dolomitne konkrecije (tab. 2, sl. 4) in tanjše, večinoma nevezno potekajoče dolomitne plasti. Karbonatne konkrecije nastopajo v zgornjih, pretežno drobnozrnatih delih sedimentnih sekvenč, kjer se pojavljajo deloma posamezno, naključno in različno gosto razvrščene v debelejšem intervalu ali pa so koncentrirane v posamezne horizonte. Njihova koncentracija je pogosto tolikšna, da tvorijo bolj ali manj sklenjene plasti, debele od 5 cm do 1.5 m.

V zgornjih delih nekaterih peščenih sekvenč zasledimo v zelo drobno do srednjezrnatem peščenjaku ponekod tudi karbonatne konkrecije ali nevezno potekajoče dolomitne plasti, debele do 20 cm. V enem primeru zaključuje sekvenco 1.5 m debela plast peščenega dolomita. Karbonatni faciesi zavzemajo 2.5 % debeline Brebovniškega člena.

Makroskopsko so karbonatne konkrecije večinoma ostro ločene od prikamnine in so velike do 20 cm, večinoma pa 5 do 10 cm. Njihova barva je različnih rdečih in sivih odtenkov ter je delno odvisna od barve prikamnine oziroma sprememb njene barve. V rdeče obarvani prikamnni so rdeče, v sivi prikamnni sive, v zeleno obarvani prikamnni pa so konkrecije sivih in rdečih, rožnatih odtenkov.

Večino karbonatnih konkrecijah sestavlja kalcit ali dolomit. V manjših količinah so prisotni še kremen, glinenci-albit, muskovit-illit in klorit, med akcesornimi minerali pa še pirit, hematit, cirkon, rutil, turmalin, rogovača, neprozorna zrna in stilpnomelan. Dolomitne konkrecije so razvite v spodnji tretjini, kalcitne pa predvsem v zgornjih dveh tretjinah Brebovniškega člena.

Karbonatni faciesi predstavljajo pedogene tvorbe (caliche, calcrete), koncentracije zgodnjedigenetskega cementa v plasteh in konkrecijah ter deloma produkt sedimentacije v jezerih tipa playa (Skaberne, 1983).

### Razvoj in interpretacija sedimetacijskega okolja Brebovniškega člena Grödenske formacije

Na osnovi podrobnih profilov, posnetih v podkopu P-10 ter prečnikih Pr-6/3-2 in Pr-

6/0-4, smo skonstruirali poenostavljen profil razvoja Brebovniškega člena na območju Žirovskega vrha (sl. 5) in prikazali interpretacijo okolja sedimentacije posameznih segmentov. Pri tem smo uporabili terminologijo, ki jo navaja Skaberne (1996).

V sedanji geografski legi predstavljajo obravnavane grödenske kamnine izsek zapolnitve jugozahodnega boka nekdanjega sedimentacijskega bazena, ki je bil s severovzhoda narinjen v sedanjo lego in danes poteka v smeri NW – SE (Mlakar & Placer, 2000). Zaradi še neizdelane palinspastične rekonstrukcije obravnavanega območja podajamo interpretacijo glede na sedanjo lego. Na osnovi razvoja najnižjega dela Brebovniškega člena Grödenske formacije sklepamo, da je najgloblji del bazena ležal severovzhodno od območja Žirovskega vrha.

V splošnem lahko v razvoju Grödenske formacije in zapolnjevanju sedimentnega bazena, predvsem v njegovem osrednjem delu, ki obsega območje Žirovskega vrha, ločimo štiri makrocikle (Skaberne, 1995):

1. makrocikel je retrogradacijski in obsegja spodnjo polovico Brebovniškega člena

2. makrocikel je tudi retrogradacijskega značaja in zajema zgornjo polovico Brebovniškega člena in približno spodnjo polovico Hobovškega člena

3. makrocikel je progradacijski in vključuje zgornjo polovico Hobovškega člena, Zalški, Koprivniški in Škofješki člen

4. makrocikel je retrogradacijski in ga predstavlja Dobračevski člen. Konča se z morsko transgresijo ter odložitvijo morskih karbonatnih sedimentov.

V nadaljevanju se omejujemo le na Brebovniški člen Grödenske formacije.

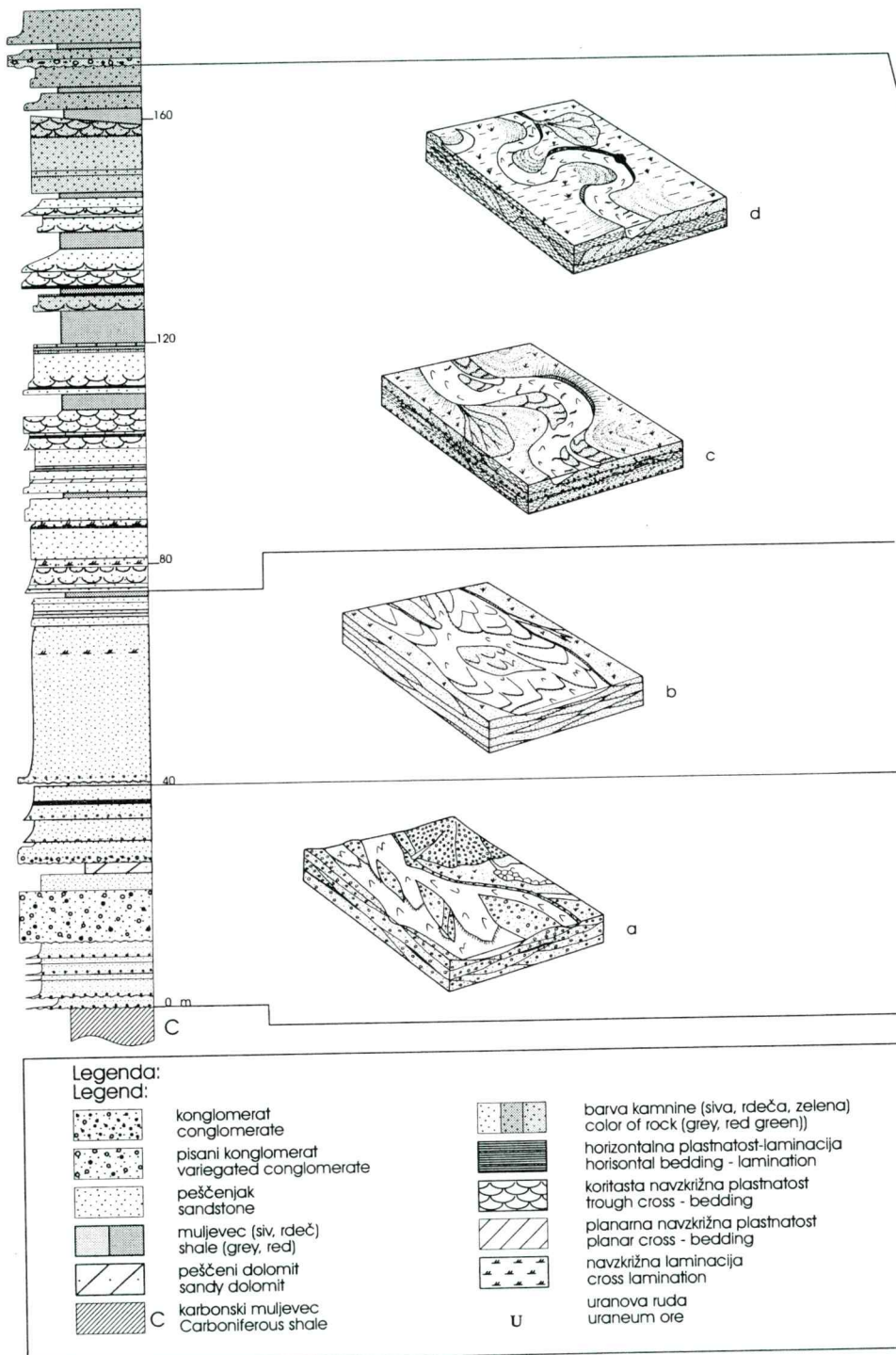
Prvi makrocikel, ki obsega spodnjo polovico Brebovniškega člena, leži diskordantno na superpozicijski enoti Cc. Najbolje je razvit v najglobljem ohranjenem delu sedimentnega bazena na območju Žirovskega vrha. Najnižji del makrocikla predstavlja bazalno distalno tvorbo peščenega materiala, ki so ga odložili rečni tokovi s prevladajočim talnim transportom. Sledi menjavanje peščenjakovih in konglomeratnih faciesov, ki predstavljajo sedimente, ki so se usedali iz tokov s prevladajočo komponento talnega transporta in jih pripisujemo rečnemu sistemu pretežno prepletajočih tokov (sl. 5 a). Lateralno so pritoki prinašali material pisanega polimiktnega konglomerata

večino materiala odlagali v obliki aluvialnih vršajev ali pa se je morda deloma tudi prese-dimentiral in pomešal s sedimenti glavnega vodnega toka. Na območjih med vršaji, od-maknjenih od glavnega rečnega toka, so se oblikovala tudi manjša jezera tipa playa, v katerih je nastal peščeni dolomit. Navzgor so pričeli prevladovati peščenjakovi faciesi. Njihov material so odložili rečni tokovi s prevladajočim talnim transportom. Rečni tok je bil verjetno sprva še relativno raven in bi ga lahko označili kot peščen prepletajoč tok (sl. 5 b). Postopoma se je pri transportu ne-koliko povečal delež suspenzijskega sedimen-ta, vendar je komponenta talnega transporta še močno prevladovala, tok pa je postal ne-koliko bolj vijugav (sl. 5 c). Količina suspen-zijjskega materiala se je nadalje povečevala, tako da je tok dobil značilnosti mešanega, talno-suspenzijskega toka. Postajal je čeda-lje bolj vijugav in prešel v pravi meandri-rajoči tok z dobro razvito obrežno ravnino (sl. 5 d). Sedimenti obrežne ravnine pa so bili močno oksidirani in so postali rdeče obarvani. V območja nekaterih predelov po-plavne ravnine so segale poplave le redko, tako da so se ponekod razvili pedogeni kar-bonatni, dolomitni horizonti.

Prvi makrocikel predstavlja sedimente razvoja rečnega sistema z zmanjševanjem nje-govega gradiента. To lahko razložimo z večjo hitrostjo sedimentacije v primerjavi s hitrostjo pogrezanja sedimentacijskega bazena.

Na območju Žirovskega vrha znaša de-belina prvega makrocikla (profil P-10) pri-bližno 165 m. Proti robovom sedimentnega bazena se ta tanjša ter postaja manj izrazit. Njegovi lateralni ekvivalenti so zastopani večinoma s peščenjakovimi faciesi, med ka-tere se vključujejo leče in plasti konglome-ratov ter podrejeno muljevcov.

Relativno mirno sedimentacijo zgornjega dela prvega sedimentacijskega makrocikla je prekinil verjetno lateralni vdor proksimalnih, visoko energetskih tokov na območje obrežne ravnine. Tokovi so odložili peščeno prodnati material pisanega polimiktnega konglome-rata v obliki aluvialnega vršaja (sl. 5 e). Temu je sledila pretežno peščena sedimentacija iz tokov s prevladajočo talno komponento trans-porta in verjetno prepletajočim potekom reč-nih korit. V spodnjem delu so kamnine rdeče, v srednjem zelene in v zgornjem sive barve. Obnovitev proksimalne, debelozrnate sedi-mentacije povezujemo s tektonsko aktivnost-



Sl. 5. Shematski profil litostratigrafskega razvoja Brebovniškega člena Grödenske formacije na območju Rudnika urana Žirovski vrh z interpretacijo okolja sedimentacije posameznih segmentov.

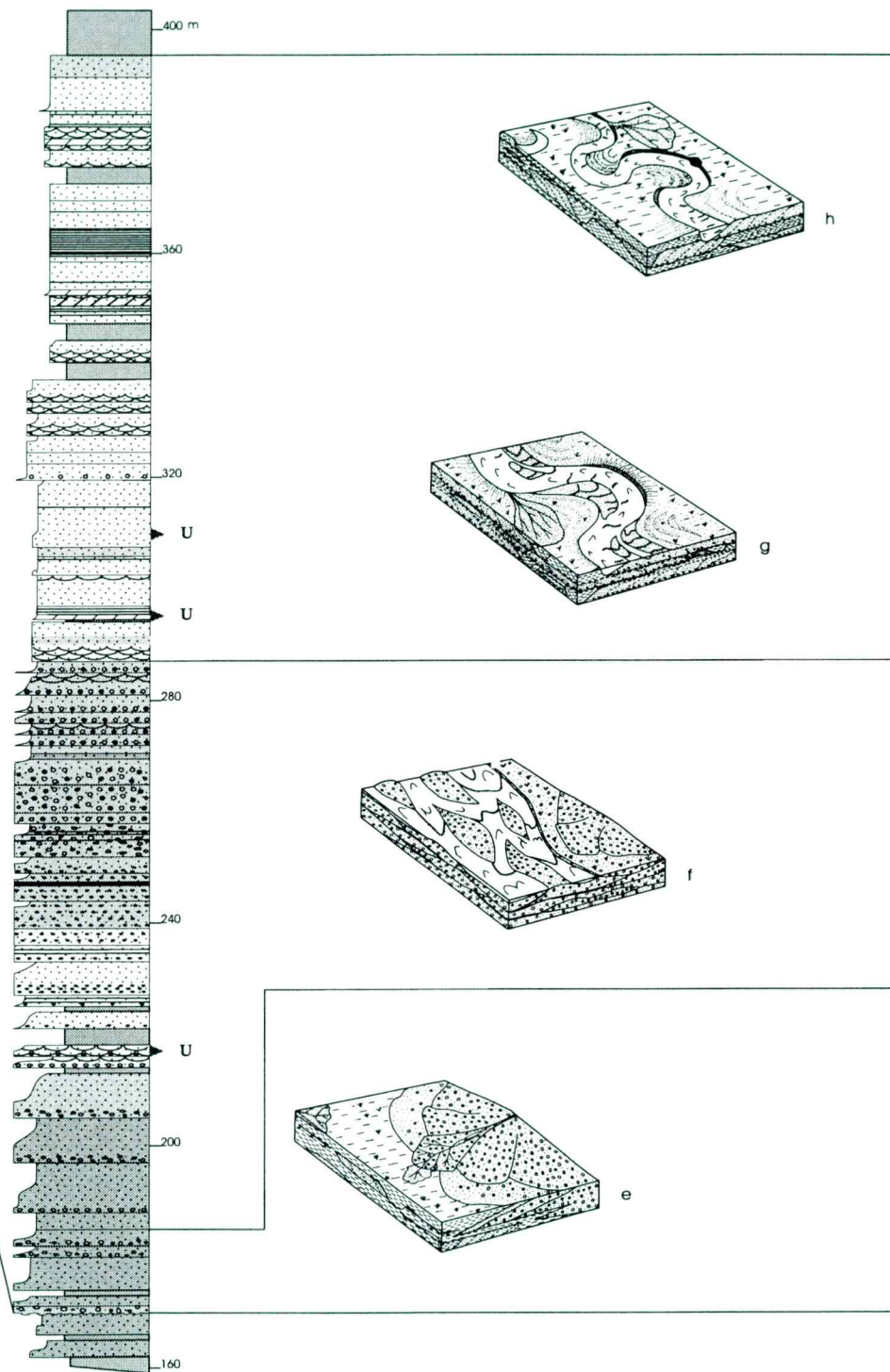


Fig. 5. Schematic profile of lithostratigraphic development of the Brebovnica Member of the Val Gardena Formation in the Žirovski vrh area with interpretation of depositional environment of individual segments.

jo v delu drenažnega zaledja. Obravnavani sedimenti predstavljajo prvi, verjetno sintektonski sunek visokoenergetske proksimalne sedimentacije ter prehod v posttektonsko sedimentacijo s tektonsko pomlajenega reliefa drenažnega zaledja. Sedimente tega prehoda smo zasledili v območju profila P-10, kjer znaša njihova debelina približno 35 m, medtem ko se na širšem prostoru prične sedimentacija drugega makrocikla s peščeno-prodnato sedimentacijo (profil Pr-6/3-2).

Tektonska dogajanja v območju dela drenažnega zaledja, ki so povzročila tudi povečanje gradienta rečnega sistema, označuje posttektonsko peščeno-prodnata sedimentacija spodnjega dela drugega makrocikla, ki je na območju Žirovskega vrha debel približno 90 m. Vzdolž bazena, generalno od severozahoda proti jugovzhodu, so rečni, verjetno prepletajoči tokovi s prevladujočo talno komponento transporta, ki so bočno, v smeri NE – SW po rečni naplavni ravnini premikali svoja korita, prenašali peščeni in prodnati material. Ta sestavlja sive peščenjake in polimiktne konglomerate (sl. 5 f), med katerimi se pojavljajo prva uranova rudna telesa. Med te sive faciese se v več nivojih vključujejo, združujejo in cepijo leče ter pasovi pisanega polimiktnega konglomerata. Ti imajo večjo kontinuiteto v smeri NW-SE, medtem ko se v smeri proti SW relativno hitro izklinjajo. Največja količina pisanega konglomerata nastopa v osrednjem delu Žirovskega vrha in se v smeri proti NW in SE zmanjšuje. Glede na razliko v prodniški združbi sivega in pisanega polimiktnega konglomerata predpostavljamo zanju različni izvorni območji. Geometrija in struktura sedimentnih teles pisanega polimiktnega konglomerata kaže na aluvialno vratljivo sedimentacijo in lateralno smer transporta od severovzhoda proti jugozahodu (sl. 5 f). Zaradi erozije večine severovzhodnega dela sedimentacijskega bazena in kompleksne tektonske zgradbe nimamo drugih dokazov za navedeno smer transporta pisanega polimiktnega konglometata.

Opisanim peščeno-prodnatim sedimentom je sledila pretežno peščena sedimentacija s podrejeno količino prodnate in muljaste komponente. Znotraj odloženih sedimentov smo, v odvisnosti od položaja, lahko izdvojili štiri do pet manjših ciklov z zaporedjem zmanjševanja zrnavosti, katerih debelina se spreminja od 15 do 35 m. V spodnjem delu ciklov prevladujejo sivi peščeni, ponekod prodnati sedi-

menti. V teh delih prvih dveh ciklov so tudi največja uranova rudna telesa na območju Žirovskega vrha. Ti sedimenti predstavljajo koritne oblike in prepletajoče sipinske komplekse, ki so jih odložili tokovi s prevladujočim talnim transportom. Poteka tokov, iz katerih so se usedali omenjeni sedimenti, nismo mogli vedno nedvoumno opredeliti. V številnih primerih zasledimo značilnosti, ki kažejo na bolj ali manj vijugav, meandrirajoč potek toka (sl. 5 g). V zgornjem delu ciklov so poleg peščenih tudi muljasti sedimenti, ki so se usedali iz meandrirajočih tokov z mešanim, talno-suspenzijskim transportom (sl. 5 h). Zgornji deli ciklov predstavljajo bolj ali manj izoblikovano obrežno ravnino ali nivoje s pogostejšim pojavljanjem opuščenih korit. Zaradi razlik v izrazitosti in kontinuiteti izoblikovanja zgornjega dela prvega cikla med petimi na različnih območjih prihaja tudi do različnega štirla (štiri ali pet) izdvojenih ciklov. Njihovi vrhnji deli označujejo obdobja s počasnejšo sedimentacijo pretežno suspenziranega materiala. Zato so bili sedimenti intenzivno oksidirani. V njih pa so se razvili horizonti s kalcitnimi konkrecijami.

Na območju Žirovskega vrha znaša priljubljena skupna debelina omenjenih štirih do petih ciklov 105 m. Debela drugega makrocikla v območju Brebovniškega člena pa je 230 m. Podobno kot pri prvem makrociklu se njegova zgradba in debelina proti robovom sedimentnega bazena spreminja in manjša. Enako velja tudi za celoten Brebovniški člen. Njegova debelina se spreminja od 0 do skoraj 400 m. Predpostavljamo, da je prišlo po odložitvi sedimentov Brebovniškega člena do hitrega umika glavnega rečnega toka z obravnavanega območja in/ali sorazmerno hitrega zmanjšanje gradienta rečnega sistema. Tako je za Hobovški člen zančilna prevladujoča počasna sedimentacija muljastih, podrejeno peščenih sedimentov na obrežni ravnini z vsemi svojimi podokolji in manjšimi kanali.

## Facies, development and interpretation of sedimentary environment of the uranium-bearing Brebovica Member of the Val Gardena Formation in the Žirovski vrh area

### Introduction

The Val Gardena Formation has the largest continuous extension in Slovenia in the area between Cerkno and Smrečje where it outcrops as an irregularly wide belt in the NW-SE direction.

In the Cerkno and Sovodenj areas numerous showings of copper ore attracted attention of researchers already in the 19<sup>th</sup> century. With discovery of radioactive anomalies in the Žirovski vrh area in 1960 and with later opening of the uranium mine of Žirovski vrh the interest for the Val Gardena Formation further increased.

Several years of the investigation *Geologic factors of Hg, Cu and U mineralization* (Mlakar, 1978 to 1983) resulted into a new geologic map of the territory between Cerkno and Smrečje (Fig. 1) that incorporate also data from boreholes and mine workings. In the yearly research reports also basic data about all lithostratigraphic members of the Val Gardena Formation are recorded. The geologic structure of Žirovski vrh and surroundings is described in short by Mlakar and Placer (2000). Detailed information on sedimentary and postsedimentary evolution of the Val Gardena Formation in this area and on certain dilemmas of lithostratigraphic nomenclature were presented by Skaberne (1995).

### Basic geologic characteristics of the Žirovski vrh area

Between Cerkno, Žirovski vrh (Fig. 1) and Smrečje extends in the NW-SE direction an about 20 km long and up to 5 km wide belt of rocks of the Val Gardena Formation. The area is situated at the contact of External Dinarides and Southern Alps consisting of overthrust units. In a wider sense the area of Žirovski vrh belongs to the External Dinarides, and in a narrower sense to the Idrija-Žiri territory that constitutes a part of the Trnovo nappe (Mlakar, 1969; Placer, 1981, 1999; Mlakar and Placer, 2000).

The overthrusted structure is dissected by several fault systems of various directions. The Sovodnje fault along which the SW block was moved downward for 200 to 400 m is the most important of these fault systems (Mlakar and Placer, 2000).

In the base of the Val Gardena Formation occur shales of the Cc superposition unit. Their age has not yet been paleontologically proved, therefore they have been attributed on the base of older studies to the Upper Carboniferous, permitting their possible Lower Permian age (Mlakar, 1987; Mlakar et al., 1993; Mlakar and Placer, 2000; Mlakar, 2001). The contact between the Cc superposition unit and the Val Gardena Formation is often of tectonic, overthrust character, and in undisturbed localities it appears as angular-erosional disconformity. The Val Gardena Formation consists predominantly of red, subordinately grey, grey-green and green, prevailingly middle grained and to a lesser degree fine and coarse grained clastic rocks. Based on lithologic characteristics Mlakar (1978-1983) subdivided the Val Gardena Formation into six superposition units marked A<sub>1</sub>, A<sub>2</sub>, A<sub>3/1</sub>, A<sub>3/2</sub>, B and C. Later these units were classified as lithostratigraphic members and named the Brebovica (Br), Hobovše (Ho), Zala (Za), Koprivnik (Ko) Škofje (Šk) and Dobračevo (Do) Members by him (Mlakar and Placer, 2000).

*The Brebovica Member (Br)* consists mainly of grey and grey green, in places red and green variously grained and prevailingly feldspar quartz lithic sandstones, conglomerates and less shales. The uranium mineralization occurs in the upper half of the Brebovica Member in the Žirovski vrh area. Thickness of this member varies from 0 to 400 m, and it pinches out in northwest.

*The Hobovše Member (Ho)* is built of red shale with several meters thick lenses of red and grey fine-grained sandstone. In the latter occur in places copper mineralizations. The member is 20 to 280 m thick.

*The Zala Member (Za)* is represented by red, variously grained sandstones and subordinately thinner beds of red shale. Its thickness varies between 180 and 380 m.

*The Koprivnik Member (Ko)* consists of red conglomerates and sandstones of varying grain size and of smaller amount of shale. In the wider surroundings of Žirovski vrh the

member attains 550 m of thickness. Northwest of Sovodnje the Zala and Koprivnik Members thin and finally pinch out. In the southeastern part of the considered territory (Lavrovec) the beds that could be compared to Zala and Koprivnik Members appear in a different development.

*The Škofje Member (Šk)* is developed in the Škofje and Sovodenj areas as grey lithic quartz sandstone in which the copper mineralization occurs in places (Škofje, Sovodenj). In the Javorjev dol area appear in the same lithostratigraphic level lenses of light grey and grey brownish, in places pink conglomerate that becomes southeastwards more continuous and thicker, attaining a thickness of 100 m. At Lavrovec two prograding coarsening-upward successions could be distinguished. They consist of grey and grey yellowish sandstones and conglomerates, the latter being in places also red. The successions attain a thickness of up to 740 m, and they represent the equivalent of the Zala and the Koprivnik Members.

*The Dobračovo Member (Do)* is developed in the Sovodenj area prevailingly as red fine-grained sandstone attaining 120 m of thickness. Towards southeast it passes to red shale that thins and pinches out at Lavrovec.

The thickness of the entire Val Gardena Formation varies from 200 m in the Škofje area to 1750 at Žirovski vrh where it attains its maximum thickness in Slovenia.

The lower part of the Val Gardena Formation at Žirovski vrh could be older than 255 million years which corresponds to the Kazanian, the lower part of Upper Permian in its two part subdivision (Odin & Odin, 1990), or to the Middle Permian in the three part subdivision of Permian. This is confirmed also by the only determinable fossil remains (pollen) found in the P-10 adit and B-63 borehole (Jelen et al., 1981).

Carbonate rocks transgressively overlie the terrigenous Val Gardena Formation. They build the Žažar Formation that is an equivalent of the Bellerophon Formation in the Carnian Alps.

In the following we will limit ourselves only to the Brebovnica Member that is also economically the most interesting member of the Val Gardena Formation owing to considerable concentration of uranium ore. The basic subdivision of this member was carried

out in connection with exploration of uranium ore (Omaljev, 1967 a, b; Budkovič, 1980).

### Methodology of examination and interpretation

In the Žirovski vrh mine area (Fig. 1) we logged ten detailed profiles that partly overlap, and that cover the entire and maximum preserved thickness of the Brebovnica Member in the entire area between Cerkno and Smrečje.

The logged profiles represent unidimensional vertical successions of facies. Since the Val Gardena Formation consist prevailingly of clastic rocks and as the grain size represents one of the basic and in clastics the most important property, it was used for the basis of the facies subdivision. Three basic conglomerate, sandstone and mudstone facies were distinguished. They were subdivided in more detail according to additional defining criteria as their sedimentary structures and composition. Since the sedimentary structures were formed during sedimentation and since they reflect the interaction between flow, bed and transported material, from them certain characteristics of the flow could be inferred.

The vertical successions of facies were associated to sedimentary sequences that are bounded by third and higher order bounding surfaces (Miall, 1988). An ideal sequence of the most well known meandering river deposit consists of lower, coarse grained, point bar and upper, fine grained, overbank sediments.

Sedimentary sequences were associated into various higher order units (the first of E1 and the second of E2 orders; Fig. 2). The units are of interpretative character and they should represent the unit bars, channel forms and braided bar and overbank complexes of rivers or alluvial fans. Complete representations of profiles, defined units and detailed interpretation are presented by Skaberne (1995).

All discussed relative frequencies of individual facies are shown in the following with respect to their thickness in considered sections of carefully logged P-10 adit, Pr-6/2-3 and Pr-6/0-4 crosscuts in the central part of the Žirovski vrh uranium mine.

## Facies and their interpretation

In the Brebovnica Member the most frequent are the sandstone and conglomerate facies, while the mudstone and carbonate facies are less developed.

### Conglomerate facies

The conglomerates, sandy conglomerates and gravelly sandstones, of which the last two mentioned prevail, are attributed to conglomerate facies that comprise 18.6 % of the Brebovnica Member. The conglomerate facies are of variously grey, green and subordinately red color shades. They occur in irregularly thick beds and lenses of 5 cm to 9 m thickness.

In conglomerates the following pebble groups can be detected macroscopically: grey-white and rose quartz, grey, green and red volcanic rocks, rare granitoid rocks, chert – lidite and jasper, limestones, sandstones, tuffs, sericite slates, phyllites, quartzites and intraclasts of shales and carbonate concretions.

In conglomerates alterations of color and composition of pebbles were detected, and on this basis two main conglomerate facies were established.

*The grey polymictic conglomerate* is represented with 8.5 %, and is of variously grey and subordinately greenish color shades. In it pebbles of grey-white quartz, grey and green volcanic rocks predominate over pebbles of lidite, tuffs and intraclasts (Pl. 1, Fig. 1). It usually forms more or less continuous beds and lenses of 10 cm to 4.5 m thickness in individual sequences.

*The variegated polymictic conglomerate* has a very diverse pebble composition that gave it the name. In it pebbles of grey-white and rose quartz prevail, while pebbles of grey and green volcanic rocks, lidite, jasper, tuffs and intraclasts are less abundant (Pl. 1, Fig. 2). Along with the mentioned pebbles occur in places also pebbles of red volcanic rocks and limestones. The variegated polymictic conglomerate is prevailingly green, rarely reddish and even more rarely grey. It forms more or less continuous beds and lenses from 10 cm to 8.1 m thick in considered sequences.

The variegated polymictic conglomerate is irregularly distributed in the Žirovski vrh

area. It has the maximum thickness in the central part where it amounts to 10.1 % of total thickness of the Brebovnica Member, whereas it thins towards NW and SE. It occurs in several horizons that may fast pinch out laterally in the SW direction. Between individual horizons the grey polymictic conglomerate is interbedded.

For more detailed determination of facies the predepositional and syndepositional sedimentary structures were used.

*Se – erosional surfaces* (Pl. 1, Fig. 1, 2) are of the third or higher order bounding surfaces (Miall, 1988, 1990). They are compared to the *Se* lithofacies – erosional scours with intraclasts (Rust, 1978; Miall, 1978) and the *SS* lithofacies (Cant & Walker, 1978).

*Gm – massive conglomerate* is the most abundant, forming 17.0 % of the Brebovnica Member thickness.

*Gh – horizontally bedded conglomerate* is more to less distinctly expressed (Pl. 2, Fig. 1). Miall (1977, 1978) associated conglomerates with massive and horizontal bedding to the *Gm* lithofacies – massive and crudely bedded gravel. The *Gm* and *Gh* conglomerates could represent longitudinal bars, lag coarse-grained deposits or alluvial fan sieve deposits.

*Gt – trough cross-bedded conglomerate* is more or less clearly expressed, and makes only 0.4 % of total thickness. It is interpreted as channel fill.

### Sandstone facies

The sandstone facies are the most abundantly represented. They comprise 70.0 % of the Brebovnica Member thickness. Based on grain size they were subdivided into three groups: coarse (10.6 %), medium (38.0 %) and fine-grained (21.4 %) sandstone. They are of grey, red and subordinately green color shades, and they form more or less regularly thick beds and lenses. Their thickness in considered sequences varies between 5 cm and 18.2 m. They are underlain by conglomerates and shales.

Data on grain size distribution in sandstones of the Val Gardena Formation as well as interpretation of their depositional environment based on them, defined it as fluvial, are given by Skaberne (1995, 1997).

Sandstones are composed of terrigenous grains of quartz, feldspars – mainly plagioclases, lithic grains – of volcanic rocks, granitoids, metamorphic rocks and subordinately sedimentary rocks, phyllosilicates – especially muscovite and chlorite, and accessory heavy minerals.

Terrigenous grains are bound by cement and matrix. Most of cement consists of quartz, feldspars, calcite, dolomite and numerous other minerals that occur in various forms and in several generations. The larger part of matrix belongs genetically to epimatrix that consists predominately of quartz and illite-sericite.

With respect to the presence or absence of predepositional and especially of syndepositional sedimentary structures in individual granulometric groups of sandstone facies several detailed facies were distinguished.

*Se – erosional surfaces* (Pl. 2, Fig. 3) are compared, as in the conglomerate facies, with the Se lithofacies (Rust, 1978; Miall, 1978) and with the SS lithofacies (Cant & Walker, 1978).

In the upper part of the sandstone member of some sequences the *Ss – scour-fill sandstone* (Fig. 3) and partly the *St – solitary trough cross-bedded sandstone* (Miall, 1977) were detected.

*Sm – massive sandstone* is the most abundant among all sandstone facies, and it represents 47.8 % of the Brebovnicka Member thickness. Compared to known literature data the share of the massive sandstone in the considered profiles is surprisingly high. We consider the main reason for such abundance of massive bedding to be the high degree of tectonic deformation of rocks.

*Sh – horizontally laminated and bedded sandstone* (Fig. 4, Pl. 2, Fig. 2) is represented by 9.1 % of the Brebovnicka Member. It is a product of plane bed deposited mostly, but not always, in the upper flow regime.

*Sl – low angle planar cross-laminated and bedded sandstone* (Pl. 2, Fig. 2) is rare in the considered profiles, represented by only 1.1 %. It reflects the upper flow regime, and is usually deposited on a somewhat inclined basis, or it fills shallow erosional scours.

*Sp – planar cross-bedded sandstone* (Pl. 1, Fig. 3) comprises 1.6 % of total Brebovnicka Member thickness. In the Žirovski vrh area the dips of the planar cross bedding have a three-modal distribution. The first mode is

in the direction at about 60°, the second at about 240°, and the third, the least frequent, at about 150°. This facies was formed as a result of migration of two-dimensional dunes, transverse or languid bars, and characterizes the lower flow regime.

*St – trough cross-bedded sandstone* (Fig. 4) is present with 9.0 %. This facies represents channel fills with the migration of three-dimensional dunes, and is typical for the lower flow regime.

*Sr – cross-laminated sandstone* (Pl. 2, Fig. 2) is represented by 1.3 % in the thickness of the Brebovnicka Member. The facies was formed by migration of two- and three-dimensional ripples in the lower flow regime.

### Mudstone facies

Lithologically the mudstone facies comprises siltstones and shales of various red, violet, grey to dark grey and almost black and greenish colors. They make 11.4 % of the considered member.

The fine-grained rocks have a heterogeneous texture. Textural heterogeneity is caused by alternation of coarser and finer grained laminas, bioturbation and concretions, and by cleavage domains.

They are composed of muscovite – illite, chlorite, quartz, feldspars – albite and rarely microcline, and in places by additional calcite, dolomite, pyrite and hematite.

The mudstone facies are texturally slaty or laminated.

*Fs – slaty shale* is prevailing among the mudstone facies. We believe that most of the present slaty shales had expressed fine horizontal lamination, which was obliterated mostly by tectonic strain and other post-depositional alterations.

*Fl – laminated shale* (Pl. 2, Fig. 3) with horizontal or cross-lamination and lenticular bedding is subordinate in the Brebovnicka Member.

The mudstone facies represent overbank sediments deposited from suspension or weak traction currents.

### Carbonate facies

The calcite and dolomite concretions (Pl. 2, Fig. 4) and thinner, largely discontinuous

dolomite beds are attributed to the carbonate facies. The carbonate concretions occur in the upper, mainly fine-grained parts of sedimentary sequences where they appear in part isolated, randomly and variable dense within a thicker interval, or they are concentrated in individual horizons. Their abundance is often so high that they form more or less continuous beds from 5 cm to 1.5 m thick. The carbonate facies comprise 2.5 % of the Brebovnica Member.

The carbonate concretions are macroscopically in general sharply delimited from the surrounding rock. They are about 20 cm large, mostly between 5 and 10 cm.

Most of the carbonate concretions consist of calcite and dolomite. In smaller amounts also quartz, feldspars – albite, muscovite-illite and chlorite are present. Dolomite concretions are developed in the lower third, and calcite concretions in the upper two thirds of the Brebovnica Member.

The carbonate facies represent partly pedogene carbonates (caliche, calcrete), partly concentrations of early diagenetic carbonate cement in beds and concretions, and partly deposits of playa lakes (Skaberne, 1983).

#### **Development and interpretation of depositional environment of the Brebovnica Member of the Val Gardena Formation in the Žirovski vrh area**

From detailed profiles logged in the P-10 adit and in Pr-6/8-2 and Pr-6/0-4 crosscuts we constructed a simplified profile of the lithostratigraphic development of the Brebovnica Member in the Žirovski vrh area (Fig. 5), and interpreted the depositional environment of individual segments.

In the present geographic position the considered Val Gardena rocks represent a section of the fill of the southwest flank of the original sedimentary basin that was overthrust from northeast to its present position trending northwest-southeast (Mlakar & Placer, 2000). Since the palinspastic reconstruction of the considered area has not been performed yet, we present the interpretation according to its present position. On the basis of the development of the lowermost part of the Brebovnica Member of the Val Gardena Formation we presume that the lowermost part of the basin

was situated northeast of the Žirovski vrh area where also greatest thickness is preserved.

Generally, in its central part that comprises the Žirovski vrh area four macrocycles can be distinguished (Skaberne, 1995):

The 1<sup>st</sup> macrocycle is retrogradational, and it comprises the lower half of the Brebovnica Member.

The 2<sup>nd</sup> macrocycle is also of retrogradational character and it comprises the upper half of the Brebovnica Member and about the lower part of the Hobovše Member.

The 3<sup>rd</sup> macrocycle is progradational and it includes the upper part of the Hobovše Member, and the Zala, Koprivnik and the Škofje Members.

The 4<sup>th</sup> macrocycle is retrogradational and is represented by the Dobračevo Member; it is terminated by a sea transgression and deposition of marine carbonate sediments.

In the following, only the Brebovnica Member of the Val Gardena Formation will be considered.

The first macrocycle comprising the lower half of the Brebovnica Member is discordantly overlying the Cc superposition unit. It is the best developed in the deepest preserved part of the sedimentary basin in the Žirovski vrh area. The lowermost part of the first macrocycle represents the basal distal form of sandy material deposited by predominant bed-load streams. The followed alternation of sandstone and conglomeratic facies represents the sediments deposited from predominant bed-load streams, and they are attributed to a prevailingly braided fluvial channel style (Fig. 5 a). The tributaries carried in laterally the material of variegated polymictic conglomerate. The tributaries deposited the most of material in alluvial fans. Some of this material was perhaps in part resedimented and mixed with sediments of the main stream. In areas between alluvial fans, at some distance from the main stream, periodically occurred smaller playa lakes, where sandy dolomite formed. After that started to prevail the sandstone facies deposited by bed-load streams; the fluvial channel style was sand dominated and most probably braided (Fig. 5 b). In the sediment load transported by streams the bed-load still strongly prevailed but the amount of suspended-load started gradually to increase. This caused increasing the sinuosity of

fluvial channels too (Fig. 5 c). The amount of suspended material continued to increase, so that the stream became of mixed-load type. The fluvial style evolved in the higher sinuosity single channel system passing into meandering channel style with a well-developed floodplain (Fig. 5 d). The overbank deposits became strongly oxidized and red colored. Some areas of the floodplain were attained by less frequent floods so that in places pedogenic carbonate, dolomitic horizons could develop.

The first macrocycle represents the sediments of the fluvial system development that was characterized by reduction of its gradient. This can be explained by the high net sedimentation rate that exceeded the subsidence rate of the sedimentary basin.

In the Žirovski vrh area the thickness of the first macrocycle (P-10 profile) attains about 165 m. Toward the margins of the sedimentary basin it thins and becomes less distinct. Its lateral equivalents are represented mostly by sandstone facies with inclusions of lenses and beds of conglomerates and subordinately shales.

The relatively quiet deposition of the upper part of the first sedimentation macrocycle was interrupted probably by lateral irrigation of proximal, high-energy streams on the areas of the floodplain. The streams deposited sandy and gravelly material of the variegated polymictic conglomerate as alluvial fans (Fig. 5 e). This was followed by predominantly sandy deposition from the bed-load streams in the probably braided channels system. In the lower part the rocks are red, in the middle one green and in the upper part grey. Renewal of proximal, coarse-grained sedimentation is associated with tectonic activity in a part of the drainage basin. The considered sediments represent the first, probably syntectonic shock of high-energy proximal sedimentation, and the transition towards post tectonic sedimentation from the tectonically renewed relief of the drainage basin. These transition sediments were detected in the area of the P-10 profile where their thickness averages about 35 m, whereas in the wider area the sedimentation of the second macrocycle was started with sandy-gravely sedimentation (profile Pr-6/3-2).

The tectonic events in the drainage basin which caused also the increase of the river

system gradient, are marked by post tectonic sandy-gravely sedimentation of the lower part of the second macrocycle that attains about 90 m thickness in the Žirovski vrh area. The grey sandstone and polymictic conglomerate (Fig. 5 f) within which the first uranium ore bodies occur were formed of sand and gravel transported by bed-load streams that were flowing along the basin, generally from northwest to southeast and shifted laterally, in NW-SE direction, their braided channel across the aluvial plain.

Among these the grey sandstone and polymictic conglomerate include, amalgamate and split at several levels the lenses and belts of variegated polymictic conglomerate. Their continuity is steadier in the NW-SE direction, whereas they relatively rapidly pinch out toward SW. The largest amount of variegated polymictic conglomerate occurs in the central part of the Žirovski vrh area, and it diminishes in the NW and SE directions. Owing to the difference in pebble associations of grey and variegated polymictic conglomerate two different source areas for them are supposed. The geometry and structure of sedimentary bodies of variegated polymictic conglomerate indicate alluvial fan depositional environment and lateral transport from northeast towards southwest (Fig. 5 f). Because of erosion of great deal of the northeastern part of the sedimentary basin and the complex tectonic structure there are no other proofs for the mentioned transport direction of the variegated polymictic conglomerate.

The described sandy-gravely sedimentation was followed by predominant sandy sedimentation with subordinate amount of gravelly and muddy component. Within the deposited sediments four to five smaller fining-upward cycles could be established. Their thicknesses vary from 15 to 35 m. In the lower part of cycles prevail grey sandy, in places gravelly sediments. In these parts of the first two cycles also occur the largest uranium ore bodies of the Žirovski vrh area. These sediments represent channel forms and braided bar complexes deposited from the predominant bed-load streams. The fluvial channel style, which the mentioned sediments deposited, could not always be determined unequivocally. In numerous cases certain characteristics indicate meandering channels with lower or higher sinuosity (Fig.

5 g). The upper parts of cycles consisting of sandy and muddy sediments were deposited by mixed-load streams of meandering fluvial channel style (Fig. 5 h). The uppermost parts of cycles represent a more or less formed overbank plain or levels with more frequent occurrences of abandoned channels. Owing to differences in expressiveness and continuity of the upper part of the first of the five cycles in various areas also different numbers (four to five) of cycles can be determined. Their upper parts mark the periods of slower sedimentation of predominantly suspended material. Therefore the sediments were intensively oxidized and horizons of caliche concretions developed in them.

In the Žirovski vrh area the approximate total thickness of the mentioned four to five cycles amounts to 105 m. Thickness of the second macrocycle in the Brebovnica Member area is 230 m. Similarly as the first macrocycle its structure and thickness changes and diminishes towards the margins of the sedimentary basin. This is true also for the entire Brebovnica Member. Its thickness varies from 0 to almost 400 m.

After the deposition of sediments of the Brebovnica Member supposedly the main stream rapidly retreated from the considered area, and/or the fluvial system gradient rapidly diminished. The Hobovše Member is therefore characterized by the predominantly slow sedimentation of muddy, subordinately sandy sediments on the wide overbank plain with all subenvironments and smaller channels.

## Zahvala

Raziskavo je financiralo Ministrstvo za šolstvo, znanost in šport RS. Zahvaljujem se kolegom, ki so podali kritične pripombe k rokopisu in s tem pripomogli k njegovi izboljšavi. Posebna zahvala velja S. Pircu za angleški prevod. Za tehnično pomoč pa se zahvaljujem V. Pavlici in J. Otrin.

## Literatura – References

- Berce, B. 1959: Poročilo o geološkem kartiraju ozemlja Cerkno-Žiri v letu 1958. – Rokopis, Geološki zavod Slovenije, Ljubljana.
- Berce, B., Iskra, M., Novak, D. & Cigler, K. 1959, 1960: Poročilo o geološkem kartiranju na ozemlju Cerkno-Žiri-Idrija-Rovte. – Rokopis, Geološki zavod Slovenije, Ljubljana.
- Bibolini, A. 1933: Formazioni sedimentari ramifere nel Goriziano. – Assoc. min. Del Piemonte, Torino.
- Budkovič, T. 1978: Litološka kontrola uranovega oruženja na obzorju 530 m v rudišču Žirovski vrh. – Rud.-metal. zb., 1, 25-34, Ljubljana.
- Budkovič, T. 1980: Sedimentološka kontrola uranove rude na Žirovskem vrhu. – Geologija, 23/2, 221-226, Ljubljana.
- Budkovič, T. 1981: Raziskave na Žirovskem vrhu po modelu geokemične celice. – Geologija, 24/1, 7-23, Ljubljana.
- Budkovič, T. et al. 1979, 1983: Geološko rudarske raziskave uranovega rudišča Žirovski vrh za leto 1978, 1983. – Rokopis, Geološki zavod Slovenije, Ljubljana.
- Cant, D. J. & Walker, R. G. 1978: Fluvial processes and facies sequences in the sandy braided South Saskatchewan River, Canada. – Sedimentology, 25, 625-648, Oxford.
- Dimkovski, T. et al. 1974, 1976, 1977: Poročilo o rudarsko geoloških raziskavah urana na Žirovskem vrhu v letu 1973, 1975, 1976, 1977. – Rokopis, Geološki zavod Slovenije, Ljubljana.
- Dolenec, T. 1983: Nastanek uranovega rudišča Žirovski vrh. – Doktorska disetacija, Univerza v Ljubljani.
- Drovenik, F., Drovenik, M. & Grad, K. 1972: Kupferführende Grödener Schichten Sloweniens. – Proceedings of the 2<sup>nd</sup> International Symposium on the Mineral Deposits of the Alps. – Geologija, 15, 95-107, Ljubljana.
- Drovenik, M. 1970: Nastanek bakrovega rudišča Škofje. – Prvi kolokvij o geologiji Dinaridov 2. del, Geološki zavod in Slovensko geološko društvo, Ljubljana, 17-63.
- Grad, K. & Ferančič, L. 1974: Osnovna geološka karta SFRJ 1:100000, List Kranj. – Zvezni geološki zavod, Beograd.
- Grad, K. & Ferjančič, L. 1976: Tolmač za list Kranj, Osnovna geološka karta 1:100 000. – Zvezni geološki zavod, Beograd, 70 pp.
- Grad, K. et al. 1967: Raziskave bakra v širši okolici Cernega. – Rokopis, Geološki zavod Slovenije, Ljubljana.
- Grafenauer, S. 1966: Metalogenija i mineraloške karakteristike bakrovih pojava u Sloveniji. – Referati 6. savetovanja geologa SFR Jugoslavije II, 377-396, Ohrid.
- Götting, 1924: Über die Kupferlagerstätten von Sovodenj. – Montan. Rdsch., 1924/18, 493-496, Wien.
- Isailović, S. & Pavlović, A. 1963: Podludaljno geološko kartiranje i radiometrijska prospekcija područja Fužine-Cerkno. – Rokopis, Fond strokovne dokumentacije IGRI, Beograd.
- Jelen, M., Budkovič, T. & Grad, K. 1981, Crucisacrites variosulcatus Djupina v perm-skih plasteh uranovega rudišča Žirovski vrh. – Geologija 24/2, 319-325, Ljubljana.
- Kossmat, F. 1910: Erläuterungen zur Geologische Karte Bischofslack-Idria, Wien, 98 pp.
- Lipold, M. V. 1852: Kupfererze in Krain. – Jb. geol. R.-A., Sitzungsbericht von 20. April 1852, Wien.
- Lipold, M. V. 1857: Erzvorkommen in Oberkrain. – Jb. geol. R.-A., Sitzungsbericht von 18. April 1857, Wien.
- Lukacs, E. & Florjančič, A. P. 1974: Uranium ore deposits in the Permian sediments of

Northwest Yugoslavia. – Formation of Uranium Ore Deposites, Proceedings of a Symposium, Athens, 6–10 May 1974, International Atomic Energy Agency, Vienna, 313–329.

Marinković, P. 1960: Geološka karta Žirovskog vrha. – Rokopis, Fond strokovne dokumentacije, Geoinstitut, Beograd.

Marinković, P. 1961a: Radiometrijska prospexija i geološko kartiranje u oblasti Žirovski vrh 1961. godine. – Rokopis, Fond strokovne dokumentacije, Geoinstitut, Beograd.

Marinković, P. 1961b: Radiometrijska prospexija i geološko kartiranje u oblasti Žirovski vrh i Škofje Loke. – Rokopis, Fond strokovne dokumentacije, Geoinstitut, Beograd.

Miall, A. D. 1977: A review of the braided-river depositional environment. – Earth Sci. Rev., 13, 1–62, Amsterdam.

Miall, A. D. 1978: Lithofacies types and vertical profile models in braided river deposits: summary. – v: Miall, A. D. (ed.), Fluvial sedimentology. Can. Soc. Petrol. Geol. Mem., 5, 597–604, Calgary.

Miall, A. D. 1985: Architectural-element analysis: A new method of facies analysis applied to fluvial deposits. – Earth-Sci. Rev., 22, 261–308, Amsterdam.

Miall, A. D. 1988: Facies architecture in clastic sedimentary basins. – v: Kleinspehn, K.L. & Paola, C. (eds.), New Perspective in Basin Analysis. Springer-Verlag, New York, 67–81.

Miall, A. D. 1990: Principles of Sedimentary Basin Analysis. 2<sup>nd</sup> ed., Springer-Verlag, New York, 669 pp.

Mlakar, I. 1969: Krovna zgradba idrijsko žirovskoga ozemlja. – Geologija, 12, 5–72, Ljubljana.

Mlakar, I., 1979, 1980, 1981, 1982, Geološki faktorji kontrole Hg, Cu in U mineralizacije. – Rokopis, Geološki zavod Slovenije, Ljubljana.

Mlakar, I. 1987: Prispevek k poznavanju geološke zgradbe Posavskih gub in njihovega južnega obroba. – Geologija, 28, 29, (1985/86), 157–182, Ljubljana.

Mlakar, I. 2001, Paleozojski skladi na območju Lenart nad Lušo. – Geologija, 44/2, 217–225, Ljubljana.

Mlakar, I. & Placer, L. 2000: Geološka zgradba Žirovskega vrha in okolice. – v: Florjančič, A.P. (ed.), Rudnik urana Žirovski vrh. Doneski 1, Didakta, Radovljica, 34–45.

Mlakar, I., Skaberne, D. & Drovešnik, M. 1993: O geološki zgradbi in orudjenju v karbonskih kameninah severno od Litije. – Geologija, 35, (1992), 229–286, Ljubljana.

Odin, G. S. & Odin, Ch. 1990: Echelle numérique des temps géologiques, mise r jour. – Géochronique, 35, 12–21, Paris.

Omaljev, V. 1965: Ležište uranijuma Žirovski vrh. – Nuklearna energija, 3, Beograd.

Omaljev, V. 1967 a: Korelacija slojeva u ležištu urana Žirovski vrh. – Radovi, IGRI, 3, 125–149, Beograd.

Omaljev, V. 1967 b: Korelacija slojeva u ležištu Žirovski vrh. – Radovi IGRI, 3, 125–149, Beograd.

Omaljev, V. 1982: Metalogenetske karakteristike uranskog rudišta Žirovski vrh. – Posebna izdaja, knjiga 7, Geoinstitut, Beograd, 170 pp.

Palinkaš, L. A. 1986: Geochemical facies analysis of groeden sediments and ore forming processes in Žirovski vrh uranium mine, Slovenia, Yugoslavia. – Acta Geologica, Jugosl. akad. znan. i umjet., 16/2, 43–82, Zagreb.

Placer, L. 1973: Rekonstrukcija krovne zgradbe idrijsko žirovskega ozemlja. – Geologija, 16, 317–334, Ljubljana.

Placer, L. 1981: Geološka zgradba jugozahodne Slovenije. – Geologija, 24/1, 27–60, Ljubljana.

Placer, L. 1983: Tektonski razvoj idrijskega rudišča. – Geologija, 25/1, 7–94, Ljubljana.

Placer, L. 1999: Contribution to the macro-tectonic subdivision of the border region between Southern Alps and External Dianrides. – Geologija, 41, 223–255 (1998), Ljubljana.

Premru, U. 1998: Structure of Mt. Blegoš between the Inner and Outer Dinarides. – Geologija, 40 (1997), 305–323, Ljubljana.

Premru, U. 1976: Neotektonika vzhodne Slovenije. – Geologija, 19, 211–249, Ljubljana.

Premru, U. 1977: Tektoniske raziskave ozemlja z nahajališči urana med Idrijo in Škofijo Loko. 2. faza. – Rokopis, Geološki zavod Slovenije, Ljubljana.

Premru, U. 1980: Geološka zgradba osrednje Slovenije. – Geologija, 23/2, 327–378, Ljubljana.

Rakovec, I. 1956: Pregled tektonske zgradbe Slovenije. – Prvi. jug. geol. kongres – Bled 1954, 73–83, Ljubljana.

Ramovš, A. 1958: Razvoj zgornjega perma v Loških in Polhograjskih hribih. – Razprave IV raz. SAZU, 1, 451–622, Ljubljana.

Rust, B. R. 1978: Depositional models for braided alluvium. – v: Miall, A. D. (ed.), Fluvial sedimentology. – Can. Soc. Petrol. Geol. Mem., 5, 605–625, Calgary.

Selley, R. C. 1970: Ancient sedimentary environments. Chapman & Hall, Ltd., London, 237 pp.

Skaberne, D. 1983: Petrography, chemistry and origin of carbonate concretions from Val Gardena Formation (Middle Permian) from the region of Žirovski vrh, W Slovenia, NW Yugoslavia. 4<sup>th</sup> I. A. S. Regional Meeting, International Association of Sedimentologists, Abstracts, 156–157, Split.

Skaberne, D. 1995: Sedimentacijski in post-sedimentacijski razvoj grödenske formacije med Cerknim in Žirovskim vrhom. – Doktorska disertacija, I. del 500 pp., II. del 196 pp. + 46 prilog, Univerza v Ljubljani.

Skaberne, D. 1996: Rečni sistemi in njihovi sedimentacijski modeli. – Geologija, 37/38, (1994/95), 251–269, Ljubljana.

Skaberne, D. 1997: Interpretation of depositional environment based on grain size distribution of sandstone of the Val Gardena Formation in the area between Cerkno and Smrečje, Slovenia. – Geologija, 39, (1996), 193–214, Ljubljana.

Winkler, A. 1923: Über den Bau der östlichen Südalpen. – Mitt. Geol. Gesel., 16, 1–272, Wien.